

АЗӘРБАЙЧАН ССР ЕЛМЛӘР АКАДЕМИЈАСЫ
АКАДЕМИЯ НАУК АЗЕРБАЙДЖАНСКОЙ ССР

МӘРУЗӘЛӘР ДОКЛАДЫ

ТОМ XXIII ЧИЛД

10

АЗӘРБАЙЧАН ССР ЕЛМЛӘР АКАДЕМИЈАСЫ НӘШРИЈАТЫ
ИЗДАТЕЛЬСТВО АКАДЕМИИ НАУК АЗЕРБАЙДЖАНСКОЙ ССР

Бакы—1967—Баку

АЗЭРБАЙЧАН ССР ЕАМЛЭР АКАДЕМИЈАСЫ
АКАДЕМИЯ НАУК АЗЕРБАЙДЖАНСКОЙ ССР

МЭ'РУЗЭЛЭР ДОКЛАДЫ

ТОМ XXIII ЧИЛД

№ 10

АЗЭРБАЙЧАН ССР ЕАМЛЭР АКАДЕМИЈАСЫ НЭШРИЈАТЫ
ИЗДАТЕЛЬСТВО АКАДЕМИИ НАУК АЗЕРБАЙДЖАНСКОЙ ССР
БАКЫ—1967—БАКУ

С. А. ГАДЖИЕВ

О РАДИАЦИОННОЙ АНИГИЛИЯЦИИ $p\bar{p}$ -ПАРЫ

(Представлено академиком АН Азербайджанской ССР З. И. Халиловым)

В настоящее время расчет ряда процессов с участием адронов затруднен отсутствием последовательной теории сильных взаимодействий. В некоторых конкретных случаях сильное взаимодействие учитывается или феноменологически, или введением формфактора и т. д. [1].

В этой статье рассчитывается сечение процессов

$$p + \bar{p} \rightarrow K_1^0 + K_2^0 + \gamma \quad (1)$$

$$p + \bar{p} \rightarrow \pi^+(K^+) + \pi^-(K^-) + \gamma \quad (2)$$

с учетом сильных взаимодействий как в начальном, так и конечном состояниях.

Определим матричный элемент для процесса $p + \bar{p} \rightarrow B^+ + B^- + \gamma$; здесь B — означает бесспиновый бозон.

Изучение фотона при образовании пары бесспиновых бозонов в столкновении протон-антинпротонной пары представляется диаграммами (рис. 1, 2).

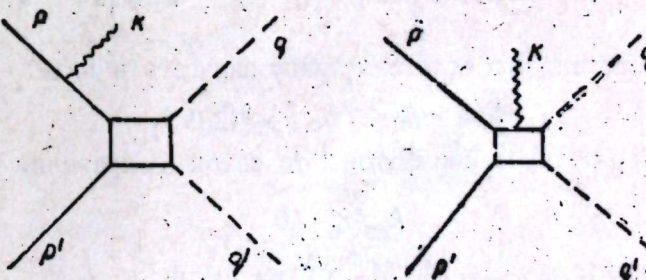


Рис. 1

Рис. 2

Матричный элемент, соответствующий этим диаграммам удобно записать в виде суммы двух членов [2, 3]

$$M_\mu = M_\mu^{(1)} + M_\mu^{(2)}$$

РЕДАКЦИОННАЯ КОЛЛЕГИЯ: Р. Г. Исмайлов (главный редактор), Ш. А. Азизбеков, В. Р. Волобуев, Д. М. Гусейнов, И. А. Гусейнов, М. А. Дадашзаде (зам. главного редактора), М. А. Далин, Ч. М. Джуварлы, А. И. Караев, М. А. Кашикай (зам. главного редактора), С. М. Кулиев, М. Ф. Нагиев, М. А. Топчибашев, З. И. Халилов, Г. Г. Зейналов (ответственный секретарь).

Адрес: г. Баку, Коммунистическая, 10. Редакция «Докладов Академии наук Азербайджанской ССР».

Центральная научная
БИБЛИОТЕКА

Сдано в набор 30/IX 1967 г. Подписано к печати 20/XII 1967 г. Формат бумаги 70×108^{1/16}.
Бум. лист. 2,13. Печ. лист. 5,82. Уч.-изд. лист. 5,12. ФГ 21089. Заказ 862. Тираж 830.
Цена 40 коп.

Типография «Наука» Комитета по печати при Совете Министров Азербайджанской ССР.
Баку, Рабочий проспект, 96.

Здесь $M_{\mu}^{(1)}$ — соответствует диаграммам, в которых вершина с излучением реального фотона связана с остальной частью диаграммы одиночной линией (диаграммы типа рис. 1), $M_{\mu}^{(2)}$ — излучению реального фотона из „ящика“ (рис. 2).

$M_{\mu}^{(1)}$ представим в виде $M_{\mu}^{(1)} = M_{\mu}^B + M_{\mu}^F$; причем M_{μ}^B отвечает вкладу всех диаграмм, в которых фотон излучается бозонами, а M_{μ}^F — фермионами.

Лоу [2] показал, что M_{μ}^B может быть записан в следующем виде:

$$M_{\mu}^B = e \frac{q_{\mu}}{q \cdot k} F(m_1^2 - 2q \cdot k, m^2, s, t) - e \frac{q'_{\mu}}{q' \cdot k} F(m_1^2 + 2q' \cdot k, m^2, s, t) \quad (3)$$

это выражение является точным и следует из теоремы Уорда без каких-либо приближений [2, 3]. Здесь используются обозначения работы [3], в которых q, q' 4-импульсы бозонов, m_1 — масса $s = (p + p')^2$, t — квадрат передаваемого импульса, p, p' 4-импульсы протона и антiprotona, а $F(m_1^2, m^2, s, t)$ — инвариантная амплитуда рассматриваемого процесса без излучения.

В дальнейшем будем ограничиваться фотонами малой энергии; поэтому разложим выражение (3) по степеням ω и ограничимся членом нулевого порядка по ω :

$$M_{\mu}^B = e \left(\frac{q_{\mu}}{q \cdot k} - \frac{q'_{\mu}}{q' \cdot k} \right) F - 2e(q_{\mu} + q'_{\mu}) \frac{\partial F}{\partial m_1^2} \quad (3')$$

M_{μ}^F — легко определяется по методу Лоу [2, 3] и имеет следующий вид:

$$\begin{aligned} M_{\mu}^F = & \bar{e} \bar{v} \left\{ \left(\frac{p_{\mu}}{p' \cdot k} - \frac{p'_{\mu}}{p \cdot k} \right) T + 2(p'_{\mu} + p_{\mu}) \frac{\partial T}{\partial m^2} - i \gamma_{\mu} \frac{1}{2m} T - \right. \\ & - iT \frac{1}{2m} \gamma_{\mu} - 2k(p - p') \left(\frac{p_{\mu}}{p' \cdot k} - \frac{p'_{\mu}}{p \cdot k} \right) \frac{\partial T}{\partial s} + \frac{\gamma_{\mu} \hat{k}}{2p' \cdot k} T + T \frac{\hat{k} \gamma_{\mu}}{2p \cdot k} + \\ & \left. + \frac{i}{2} \left(\frac{p'_{\mu} \hat{k}}{p' \cdot k} + \frac{p_{\mu} \hat{k}}{p \cdot k} \right) B \right\} u \end{aligned} \quad (4)$$

Здесь амплитуда F записана как

$$F = \bar{v} Tu = \bar{v} \left[A + \frac{i}{2} (\hat{p} - \hat{p}' \pm \hat{k}) B \right] u$$

Лоу [2] показал, что если S -матрицу записать в виде:

$$S_{i-i} \sim (2\omega)^{-1} e_{\mu} M_{\mu} \delta(\sum p_i),$$

где e_{μ} — вектор поляризации фотона, то закон сохранения тока записывается как

$$k_{\mu} M_{\mu} = 0$$

Определяя из этого условия $M_{\mu}^{(2)}$ будем иметь:

$$\begin{aligned} M_{\mu} = & \bar{e} \bar{v} \left\{ \left(\frac{q_{\mu}}{q \cdot k} - \frac{q'_{\mu}}{q' \cdot k} + \frac{p_{\mu}}{p' \cdot k} - \frac{p'_{\mu}}{p \cdot k} \right) T + \frac{\gamma_{\mu} \hat{k}}{2p' \cdot k} T + T \frac{\hat{k} \gamma_{\mu}}{2p \cdot k} - \right. \\ & - 2k \cdot (p - p') \left(\frac{p_{\mu}}{p' \cdot k} - \frac{p'_{\mu}}{p \cdot k} \right) \frac{\partial T}{\partial s} + \frac{i}{2} \left(\frac{p'_{\mu} \hat{k}}{p' \cdot k} + \frac{p_{\mu} \hat{k}}{p \cdot k} - 2\gamma_{\mu} \right) B \Big\} u \end{aligned} \quad (5)$$

При получении выражения (5) мы не учитывали членов типа производных по передаваемому импульсу; эти члены для нас не существенны, так как в дальнейшем мы будем рассматривать область низких энергий.

Чтобы связать амплитуды A и B , входящие в (5) с феноменологической амплитудой $f(\theta)$, необходимо выразить четырехкомпонентный спинор через двухкомпонентный; при этом, используя результаты работ [4, 5], где показано, что для амплитуд A и B при заданном значении полного изотопспина имеет место разложение по полиномам Лежандра в системе центра инерции падающих частиц:

$$A_c = \frac{e}{m} \sum \{(l+1)f_{l+} + lf_{l-}\} P_l(z)$$

$$B_c = \frac{E}{m p^2} \sum [f_{l+}^I - f_{l-}^I] \frac{dP_l(z)}{dz},$$

здесь $z = \cos\theta$, $I^{\pm} = j \pm s$, I — изотопспин и $P_l(z)$ — полином Лежандра.

Для простоты ограничимся s — состоянием, на что указывает анализ экспериментальных данных по аннигиляции низкоэнергетических $p\bar{p}$ -пар (см. напр. [6]) и матричные элементы для процессов (1) и (2) имеют вид:

$$\begin{aligned} M_{\mu} = & \bar{e} \bar{v} \left\{ \left(\frac{p_{\mu}}{p' \cdot k} - \frac{p_{\mu}}{p \cdot k} + \frac{\gamma_{\mu} \hat{k}}{2p' \cdot k} \frac{\hat{k} \gamma_{\mu}}{2p \cdot k} \right) f - \right. \\ & \left. - 2 \left(\frac{p \cdot k}{p' \cdot k} p'_{\mu} - p_{\mu} + \frac{p' \cdot k}{p \cdot k} p_{\mu} - p'_{\mu} \right) \frac{\partial f}{\partial s} \right\} u \end{aligned} \quad (5')$$

$$\begin{aligned} M_{\mu} = & \bar{e} \bar{v} \left\{ \left(\frac{q_{\mu}}{q \cdot k} - \frac{q'_{\mu}}{q' \cdot k} + \frac{p_{\mu}}{p' \cdot k} - \frac{p_{\mu}}{p \cdot k} + \frac{\partial_{\mu} \hat{k}}{2p' \cdot k} + \frac{\hat{k} \gamma_{\mu}}{2p \cdot k} \right) f - \right. \\ & \left. - 2 \left(\frac{p \cdot k}{p' \cdot k} p'_{\mu} - p_{\mu} + \frac{p' \cdot k}{p \cdot k} p_{\mu} - p'_{\mu} \right) \frac{\partial f}{\partial s} \right\} u \end{aligned} \quad (5'')$$

Здесь индексы у f опущены и учтена область низких энергий.

Усредняя выражения (5') и (5'') по начальным спинам и суммируя по обоим поляризациям фотона получим следующие выражения для сечений, предварительно выполнив ряд интегрирований:

$$\begin{aligned} d\sigma_1 = & \frac{e^2 p^2 q m d\omega \sin\theta d\theta}{E(\epsilon^2 - p^2 \cos^2\theta)^2} \left\{ |f|^2 \left(\frac{p}{\omega} \cos^2\theta - 2\cos\theta - \cos^3\theta \right) + \right. \\ & \left. + 4p^2 \cos^3\theta \left(f^+ \frac{\partial f}{\partial s} + f^- \frac{\partial f^+}{\partial s} \right) \right\} \end{aligned} \quad (6)$$

$$\begin{aligned} d\sigma_2 = & \frac{e^2 p q d\omega \sin\theta d\theta}{m E} \left\{ |f|^2 \left[\frac{1}{\omega} \left(\frac{m^2 p^2 \cos^2\theta}{(\epsilon^2 - p^2 \cos^2\theta)^2} + \frac{2F^2 - m_1^2}{F^2 - q^2 \cos^2\theta} \cos^2\theta - \right. \right. \right. \\ & \left. \left. \left. - \frac{m_1^2 \ln E + q}{q E} \right) - \frac{m^2 p \cos\theta}{(\epsilon^2 - p^2 \cos^2\theta)^2} (2 + \cos^2\theta) \right] + \right. \\ & \left. + \frac{4m^2 p^3 \cos^3\theta}{(\epsilon^2 - p^2 \cos^2\theta)^2} \left(f^+ \frac{\partial f}{\partial s} + f^- \frac{\partial f^+}{\partial s} \right) \right\} \end{aligned} \quad (6')$$

Здесь e и E —энергия протона и мезона, $\cos\theta = \frac{\vec{n} \cdot \vec{p}}{p}$, $\vec{n} = \frac{\vec{k}}{k}$ и m_1 —масса $\pi(k)$ мезона.

Анализ формулы (6) показывает, что вылет фотонов под углом $0 = 90^\circ$ не реализуется (в формуле (6') при $\theta = 90^\circ d\sigma \neq 0$), фотоны преимущественно вылетают под углами $0 \sim 0^\circ$ и $0 \sim 180^\circ$, следовательно, излучение сконцентрируется в узком конце по (и против) направлению падающего протона. Число фотонов, вылетающих вперед и назад существенно отличны и это приводит к существованию угловой асимметрии, определяемой как:

$$A_1(p, \omega) = \frac{2\omega}{p} \left(1 + \frac{2p^2}{\sigma_0} \frac{d\sigma_0}{ds} \right)$$

Угловая асимметрия определяемой формулы (6') имеет грэмоздкий вид, поэтому ограничимся результатами при $p = 250$ мев и фиксированном ω :

$$A_2(\omega_0) : A_1(\omega_0) \sim 10^{-2}, \quad A_3(\omega_0) : A_1(\omega_0) \sim 10^{-1},$$

т. е. существенная асимметрия имеется в реакции (1).

Отметим, что из формулы (6') следует вылет фотонов в любом направлении, не имея преимущественного.

Спектр фотонов определяется интегрированием выражений (6) и (6') по углам:

$$d\sigma_1 = \frac{e^2 pq \sigma_{01} d\omega}{m \omega E} \left(1 - \frac{m}{p} \ln \frac{e+p}{m} \right) \quad (7)$$

$$d\sigma_2 = \frac{e^2 pq \sigma_0 d\omega}{m \omega E} \left(1 - \frac{m}{p} \ln \frac{e+p}{m} - \frac{2E^2 - m_1^2}{q^2} + \frac{E^4 + q^4}{q^3 E} \ln \frac{E+q}{m_1} \right) \quad (7')$$

здесь $q = \sqrt{E^2 - m_1^2}$.

Спектр фотонов как в (7), так и в (7') имеет одну и ту же форму и при $p = 250$ мев

$$d\sigma_1 \sim 2 \cdot 10^{-3} \sigma_{01} \frac{d\omega}{\omega}, \quad d\sigma_2 \sim 2 \cdot 10^{-2} \sigma_0 \frac{d\omega}{\omega}, \quad d\sigma_3 \sim 10^{-2} \sigma_{03} \frac{d\omega}{\omega}.$$

При фиксированном значении ω :

$$d\sigma_1 : d\sigma_2 \sim 10^{-2}, \quad d\sigma_3 : d\sigma_2 \approx 2 \cdot 10^{-1}.$$

Таким образом, при аннигиляции низкоэнергетических $p\bar{p}$ -пары наиболее вероятным из рассмотренных схем является $p\bar{p} \rightarrow \pi^+ \pi^- \gamma$.

В заключение автор считает своим приятным долгом выразить благодарность Б. Л. Иоффе за ценные советы и консультации.

ЛИТЕРАТУРА

1. Окуни Л. Б. Слабые взаимодействия элементарных частиц. М., 1963.
2. Low F. Phys. Rev. 110, 974, 1958.
3. Грибов В. Н., Иоффе Б. Л., Померанчук И. Я. Препринт ИТЭФ, № 354, 1963.
4. Галзин А. Д., Грашин А. Ф., Иоффе Б. Л., Померанчук И. Я. ЖЭТФ, 37, 1956, 1959.
5. Phys Rev. 103, 1877, 1956.
6. Ниджима К. Фундаментальные частицы. Изд-во „Мир“, 1965, стр. 325.

С. Э. Һачыјев

$p\bar{p}$ чүтүнүү аннигилясијасы нағында

ХУЛАСЭ

Мәгаләдә кичик енержили $p\bar{p}$ чүтүнүү $p\bar{p} \rightarrow k_1^0 k_2^0 \gamma$ вэ $p\bar{p} \rightarrow \pi^+(k^+) \times \pi^-(k^-)\gamma$ схемләри үзән анигилясијасындан бәйсілдір. Зәррәчикләр арасындакы күчлү гарышылыглы тә'сир Лоупун тәклиф етди. Үсулла нәзәрә алыныр, жәни бешәррәчикли просесии амплитуду дөрдәррәчикли просесин амплитуду илә ифадә едилір вэ фотонун тезлигинә әсасен сыраја айрылып.

Бу йахылашмада бахылан схемләрдә яранан фотонларын бучага вэ енержијә көрә пајланмалары һесабланып. Алынаң иәтичәләр кичик енержиләр үчүн гијмәтләндірилір вэ просесин нисбәтән бејүк енти ма малик олмасы ашкар едилір.

ЭНЕРГЕТИКА

Ч. М. ДЖУВАРЛЫ, Г. В. ВЕЧХАЙЗЕР, Ю. В. ТОРИН

КОРОННЫЙ РАЗРЯД С ПОВЕРХНОСТИ ДИЭЛЕКТРИКА

Ток коронного разряда обычно ограничивается объемным зарядом, находящимся в коронирующем промежутке. При короне переменного тока в промежутке различают три зоны: ионизации, пульсации объемного заряда и зону дрейфа объемного заряда [1]. При коронировании голых металлических проводов в цилиндрах малого радиуса (радиус цилиндра меньше, чем дрейф ионов за время порядка четверти периода приложенного напряжения) вспышка короны в каждый полупериод происходит при полном отсутствии объемного заряда в коронирующем промежутке; критические градиенты как положительной, так и отрицательной короны совпадают с соответствующими начальными градиентами; при этом, очевидно, в коронирующем промежутке отсутствует зона пульсации объемного заряда.

Если при тех же радиусах цилиндров коронирующий провод будет покрыт слоем диэлектрика, по заряды, осаждающиеся в процессе горения короны на поверхности диэлектрика, будут сильно искажать электрическое поле в промежутке по сравнению с полем при коронировании голых проводов. Эти заряды будут ограничивать ток короны; кроме того, они должны сильно изменять характеристику зажигания.

Зависимости среднего за полупериод тока от приложенного напряжения при коронировании в цилиндре диаметром 5,0 см медного полированного провода диаметром 0,61 мм и капилляра из стекла пререкс, заполненного ртутью, с внешним диаметром 0,61 мм и толщиной стенок 0,065 мм приведены на рис. 1. По оси абсцисс отложена амплитуда приложенного напряжения U_m , по оси ординат — средний

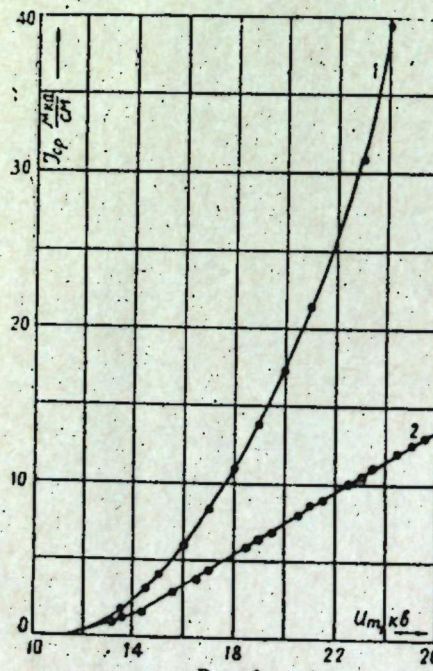


Рис. 1

сторону тока. Кривые 1 и 2 практически не отличаются друг от друга, что соответствует результатам, полученным в работе [1].

ток с единицы длины; кривая 1 относится к металлу, кривая 2 — к капилляру. Все нижеприведенные экспериментальные данные получены при тех же геометрических размерах.

Хотя начальные напряжения U_n короны на проводе и на капилляре мало отличаются друг от друга, ток короны с провода всегда больше, чем при коронировании капилляра; при увеличении кратности перенапряжения $K = \frac{U_m}{U_n}$ разница между этими токами растет.

Вольтамперная характеристика короны на капилляре состоит из двух прямых с изломом при $K = 1,25$. Начало короны со стеклянных капилляров характеризуется появлением на осциллограмме импульсов тока положительной и отрицательной короны у максимума приложенного напряжения, при этом $U_n^+ = U_n^-$; при повышении напряжения на 2–3% импульсы тока положительной короны сменяются непрерывным током. При значениях $k > 1,03$ ток положительной короны со стекла становится непрерывным, ток отрицательной короны при всех k состоит из налагающихся друг на друга отдельных импульсов. При перенапряжении $k = 1,25$ на осциллограмме тока отрицательной короны появляется дополнительный максимум, сохраняющийся при увеличении k .

При коронировании голого провода ток положительной короны непрерывен, а отрицательной — дискретен при всех перенапряжениях.

Осциллограммы тока короны на проводе (вверху) и на стеклянном капилляре при $k = 1,4$ представлены на рис. 2. Характеристики зажигания положительной и отрицательной короны на голом проводе совпадают друг с другом с точностью до 3%; они представлены на рис. 3 одной прямой (1). Здесь по оси абсцисс отложены значения U_m , по оси ординат — напряжение зажигания U_z . Как положительная, так и отрицательная корона на проводе появляется при $U_m = 11,3$ кВ, что соответствует начальной напряженности $E_n = 84,3$ кВ/см (по формуле Пика $E_n' = 85,7$ кВ/см, при $p = 758$ мм рт. ст.). При увеличении перенапряжения до $k = 3$ значения U_z^+ практически не изменяются.

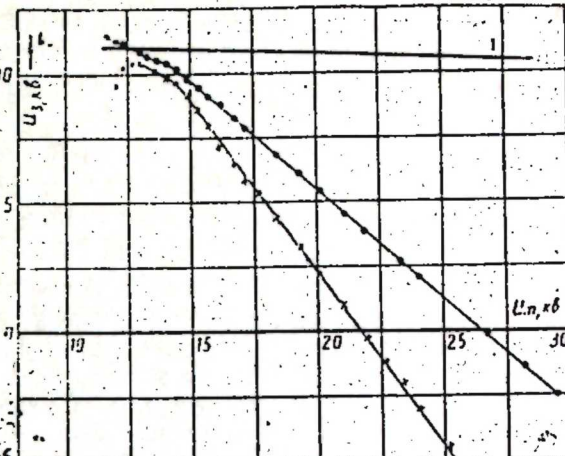


Рис. 2

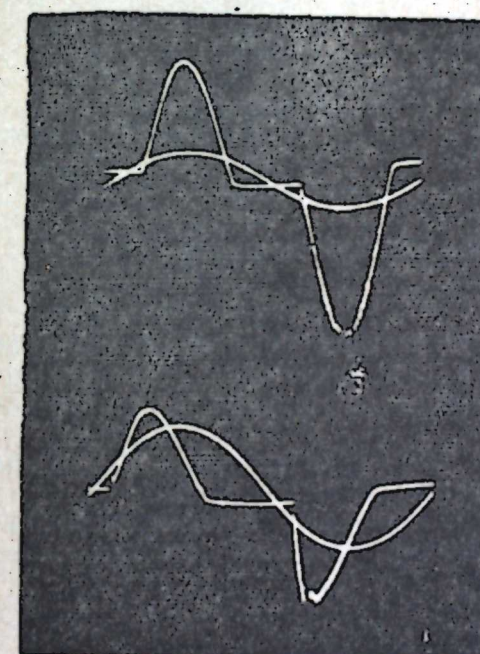


Рис. 3

Характеристики зажигания положительной и отрицательной короны на голом проводе совпадают друг с другом с точностью до 3%; они представлены на рис. 3 одной прямой (1). Здесь по оси абсцисс отложены значения U_m , по оси ординат — напряжение зажигания U_z . Как положительная, так и отрицательная корона на проводе появляется при $U_m = 11,3$ кВ, что соответствует начальной напряженности $E_n = 84,3$ кВ/см (по формуле Пика $E_n' = 85,7$ кВ/см, при $p = 758$ мм рт. ст.). При увеличении перенапряжения до $k = 3$ значения U_z^+ практически не изменяются.

Начальные напряжения положительной и отрицательной короны на капилляре при $p = 753$ мм рт. ст. $U_n = 11,5$ кв ($E_n = 84,9$ кв/см, $E'_n = 85,1$ кв/см). Характеристики зажигания короны на капилляре приведены на том же рис. 3. Экспериментальные значения U_3^+ и U_3^- отмечены на графике соответственно крестиками и точками. Зависимости $U_3^+ = f(u_m)$ короны на капилляре имеют падающий характер, за исключением небольшого участка U_3^+ в интервале $k = 1,03 - 1,10$. На тренированных капиллярах скачок U_3^+ при $k = 1,03$, появляющийся при установлении непрерывной положительной короны, меньше; однако даже при длительной тренировке капилляров он имеет значительную величину. Характеристика $U_3^- = f(U_m)$ состоит из двух прямых с изломом при $k = 1,25$; характеристика $U_3^+ = f(U_m)$ также может быть представлена двумя прямыми с изломом при том же значении k . Опыты с различными капиллярами показали, что излом на характеристиках зажигания и излом на вольтамперной характеристике, имею цей обычно место при $k = 1,2 \div 1,3$, связаны с появлением дополнительного максимума тока отрицательной короны.

Особо следует отметить тот факт, что характеристики зажигания положительной короны на металле, покрытом слоем диэлектрика, проходят ниже отрицательных характеристик, причем разность между U_3^+ и U_3^- растет с увеличением перенапряжения.

В данном сообщении приводятся экспериментальные результаты только при $k < 3$, так как при $k > 3$ происходит тепловой пробой стенок капилляров.

ЛИТЕРАТУРА

Левитов В. И. Корона переменного тока. Докторская дисс. М., 1966.

Институт Физики АН Азерб. ССР

Поступило 31. III 1967

Ч. М. Чуварлы, Г. В. Вечхајзер, Ј. В. Горин

Диелектрикин сәтһиндән тачвары бошалма

ХУЛАСӘ

Мәгаләдә диелектрикин сәтһиндән тачвары бошалманын тәчрүби тәдгигишин иәтичәләри шәрһ олунур. Ейни диаметрли шушә капиллярлар вә метал нагилләрдән олан тачвары бошалманын волтампер-характеристикалары көстәрилмишdir.

Мә'лум едилмишdir ки, мұсбәт јарымпериодда тачын аlyшмасы хара көристикасы мәнфи характеристикадан ашағы олур.

Бундан башга, бошалма аралығынын һәндәси дәјиши мәмәзлијиндә диелектрикдән олан тачвары бошалманын чәрәјаны металдан олана нисбәтән кичикдир.

ОРГАНИЧЕСКАЯ ХИМИЯ

Ю. В. ПОКОНОВА, А. А. ПЕТРОВ

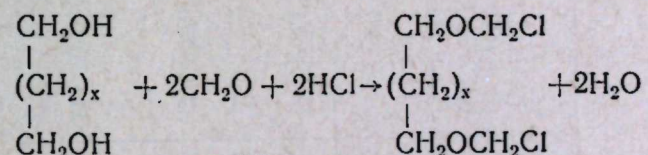
СПОСОБ ПОЛУЧЕНИЯ ПОЛИАМИНОЭФИРОВ

В самое последнее время широкое распространение получил метод синтеза полимеров низкотемпературной межфазной неравновесной поликонденсации [1, 2, 3]. Он привлекает внимание исследователей простотой исполнения, мягкими условиями процесса и возможностью получения высокомолекулярных термостойких полимеров.

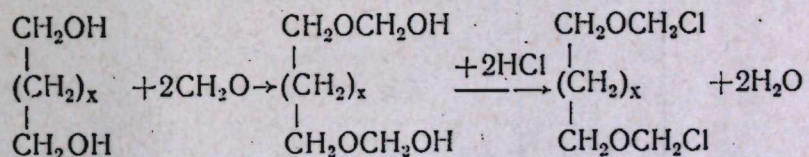
Этим методом в последнее время получены полиамиды [4], полиефиры [5], полиуретаны [6], полимочевины [4] и др. [7].

С целью расширения круга пригодных для межфазной поликонденсации мономеров в данном исследовании были впервые применены α, α' -дихлорметиловые эфиры гликоляй [8].

α, α' -дихлорэфиры гликоляй легко и просто получаются по реакции Анри-Литтершайда [9, 10]:



Для увеличения выхода тех α, α' -дихлорметиловых эфиров, которые получаются с плохим выходом (например, бутандиол-1,3), можно использовать насыщение гликоля газообразным формальдегидом при охлаждении с последующим действием хлористого водорода (11):

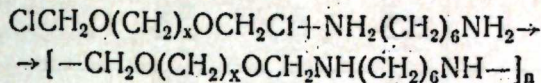


Особенностью строения дихлорэфиров гликоляй является наличие двух электроотрицательных групп у одного атома углерода. Такая структура облегчает нуклеофильное замещение, при этом углеродном атоме связь C—Cl в таких соединениях сильно поляризована под влиянием соседнего атома кислорода. Это влияние столь велико, что может привести к анионидному отрыву атома галоида [8]. Дихлорметиловые эфиры гликоляй очень реакционноспособны и обменивают атомы галоида со скоростью ионных реакций. В данном исследовании синтезированы четыре представителя дихлорэфиров гликоляй (табл. 1).

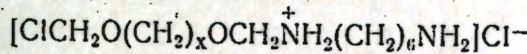
Таблица 1

Формула дихлорэфира	Суммарная формула	(Т. кипп., °C (P в м.м Hg)	η_{D}^{20}	MRd		Литературные данные		d_4^{20}	Литера- турная ссылка
				найд.	вычисл.	T. кипп., °C (м.м Hg)	n_D^{20}		
$\text{ClCH}_2\text{O}(\text{CH}_2)_2\text{OCH}_2\text{Cl}$	$\text{C}_4\text{H}_8\text{O}_2\text{Cl}_2$	96 (15)	1,4640	1,2839	34,19	33,80	47	99—100(22) 1,4659	1,2880 [8]
$\text{ClCH}_2\text{OCHCH}_2\text{OCH}_2\text{Cl}$	$\text{C}_5\text{H}_{10}\text{O}_2\text{Cl}_2$	84—83,5(10)	1,4570	1,2222	38,35	38,42	42	87—88(12) 1,4575	1,2206 [8]
$\text{ClCH}_2\text{OCH}-\text{CHOCH}_2\text{Cl}$	$\text{C}_6\text{H}_{12}\text{O}_2\text{Cl}_2$	82—83(6)	1,4580	1,1824	42,94	43,05	31	97(14) 1,4610	1,1911 [8]
$\text{ClCH}_2\text{O}(\text{CH}_2)_2\text{O}(\text{CH}_2)_2\text{O}(\text{CH}_2)_2\text{OCH}_2\text{Cl}$	$\text{C}_8\text{H}_{16}\text{O}_4\text{Cl}_2$	132—135 (2)	1,4563	1,1924	56,3	55,92	51	—	—

α,α' -дихлорметиловые эфиры гликолей при реакции с гексаметилендиамином методом межфазной поликонденсации образуют полiamминоэфиры [12].



Рост цепи макромолекулы начинается с образования четвертичной аммонийной соли диамина [13,14].

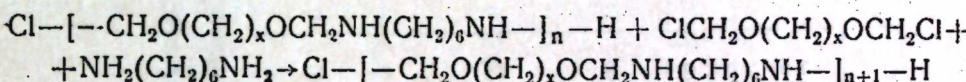


Последняя разрушается неорганическим основанием, присутствующим в водной фазе, с образованием димера.

В процессе роста цепи молекулы диамина сталкиваются с олигомерами, на концах которых имеются хлорметоксигруппы. Это предположение сделано в связи с тем, что гексаметилендиамин способен частично переходить в органическую fazу [15], а дихлорэфир нет. Последний при соприкосновении с водной fazой гидролизуется до образования исходных продуктов [10], которые в этих условиях не реагируют с гексаметилендиамином.

Вероятно, это обстоятельство может привести к уменьшению выхода полимера.

Таким образом, процесс роста макромолекулы можно выразить следующим образом:



Обрыв цепи, от которого зависит длина полимерной цепи, может произойти по следующим причинам:

- $-\text{NH}(\text{CH}_2)_6\text{NHCH}_2\text{O}(\text{CH}_2)_x\text{OCH}_2\text{Cl} + \text{H}_2\text{O} \rightarrow -\text{NH}(\text{CH}_2)_6\text{NHCH}_2\text{O}(\text{CH}_2)_x\text{OH} + \text{CH}_2\text{O} + \text{HCl}$
- $-\text{CH}_2\text{O}(\text{CH}_2)_x\text{OCH}_2\text{NH}(\text{CH}_2)_6\text{NH}_2 + \text{HCl} \rightarrow -\text{CH}_2\text{O}(\text{CH}_2)_x\text{OCH}_2\text{NH}(\text{CH}_2)_6\text{NH}_3^+$
- $-\text{CH}_2\text{O}(\text{CH}_2)_x\text{OCH}_2\text{NH}(\text{CH}_2)_6\text{NH}_2 + \text{ClCH}_2\text{O}(\text{CH}_2)_x\text{OH} \rightarrow -\text{CH}_2\text{O}(\text{CH}_2)_x\text{OCH}_2\text{NH}(\text{CH}_2)_6\text{NHCH}_2\text{O}(\text{CH}_2)_x\text{OH} + \text{HCl}$
- $\text{H}_2\text{N}(\text{CH}_2)_6\text{NH}_3^+ + -\text{NH}(\text{CH}_2)_6\text{NHCH}_2\text{O}(\text{CO}_2)_x\text{OCH}_2\text{Cl} \rightarrow -\text{NH}(\text{CH}_2)_6\text{NHCH}_2\text{O}(\text{CH}_2)_x\text{OCH}_2\text{NH}(\text{CH}_2)_6\text{NH}_3^+ \text{Cl}^- + \text{HCl}$

Наряду с этими реакциями обрыва цепи, может, вероятно, происходить остановка роста цепи вследствие затруднения поступления исходных веществ через массу образовавшегося полимера. Ввиду этого макромолекулы кончаются одинаковыми группами. Отсутствие хлора в данных микроанализа показывает, что прекращение роста цепи может произойти по реакциям а) и в).

В данной работе синтезированы четыре представителя нового класса полимеров — полiamминоэфиры, некоторые физико-химические показатели которых приведены в табл. 2.

Синтез осуществлялся на границе раздела бензол — вода при скорости мешалки равной 1900—2000 об/мин, при температуре 20—22°C. В качестве акцептора выделяющегося хлористого водорода в водную fazу добавлялось едкое кали.

Таблица 2

Структурная единица полимера	Соотношение исходных при туркотозах, % от эфира, гексаметилендиамина, % от KOH	Вычислено				Найдено			
		C	H	N	C	H	N		
$[-CH_2O(CH_2)_2OCH_2NH(CH_2)_6NH-]_n$	0,1 : 0,1 : 0,25	70	62	0,564	145** (180)***	59,36	10,95	13,86	58,78 11,19 11,30
$[-CH_2OCH-\overset{CH_3}{ }CH_3-OCH_2NH(CH_2)_6NH-]_n$	0,1 : 0,1 : 0,25	75	50,7	0,589	140 (170)	—	61,65	10,35	63,93 10,58
$[-CH_2OCH-\overset{CH_3}{ }CH_3-OCH_2NH(CH_2)_6NH-]_n$	0,1 : 0,1 : 0,25	40	55,0	0,62	135	30—40	62,56	11,38	62,90 12,17 61,90
$[-CH_2O(CH_2)_2O(CH_2)_2OCH_2NH(CH_2)_6NH-]_n$	0,1 : 0,1 : 0,25	80	61,8	0,681	143 (190)	70—80	57,92	10,41	9,64 —

* За время начала реакции принималось начало выпадения осадка после прибавления дихлорэфира гликоля.
 ** Температура начала деструкции определялась на воздухе.
 *** Определение проводилось в зондаже калия (за температуру начала деструкции принималось начало погемнения полимера).

Полученные полимеры представляют собой белые порошки плотностью 1,07—1,1 г/см³, с температурой плавления выше, чем температура их разложения. Полимеры неустойчивы по отношению к окислителям, а также в кислых средах.

Полиаминоэфиры хорошо растворяются лишь в сильно полярных растворителях.

При комнатной температуре они растворимы в мета-крезоле, в смесях фенола с этиловым спиртом, с водой, с этиленгликолем и во всех кислотах. При 50° растворяются в феноле, нитробензоле, бензиловом спирте.

Полиаминоэфиры сильно набухают в диметилформамиде, пиридине, диметиланилине. Не растворяются полиаминоэфиры в алифатических спиртах и аминах, углеводородах, ацетоне, диоксане, бензоле, хлорбензоле, моноэтаноламине, эфире, хлорексе, четыреххлористом углероде.

ЭКСПЕРИМЕНТАЛЬНАЯ ЧАСТЬ

Исходные α,α' -дихлорэфиры получены насыщением хлористым водородом охлажденной до 0+5° смеси гликолов и параформальдегида, взятых в эквимолярном количестве.

Гексаметилендиамин был перегнан при атмосферном давлении. Собрана фракция с Т. кип. 203—203,5°.

Синтез полиаминоэфиров осуществлялся в реакционной колбе, куда был помещен раствор 0,1 г-м (1,16 г) свежеперегнанного гексаметилендиамина 0,25 г-м (1,4 г) KOH 100 мл дистиллированной воды.

При скорости мешалки 2000 об/мин из капельной воронки в течение 40 сек приливался раствор 0,1 м (1,59 г) α,α' -дихлорметилового эфира этиленгликоля в 100 мл сухого бензола.

Реакция проводилась при температуре 20—21° в течение 5 мин с момента выпадения полимеров (см. табл. 2).

Полимер выпадает в виде сильно набухшего белого порошка. Осадок переносится на фильтр и промывается дистиллированной водой, к которой добавлено некоторое количество ацетона, до отрицательной реакции на ион хлора ($AgNO_3$).

Полимер высушивают в вакуум-шкафу до постоянного веса при температуре 45—50° (давл. 0,8 кг/см²). Выход полимера 1,24 г (62%).

Аналогично синтезированы другие представители полиаминоэфиров.

Для определения прочности на разрыв были отлиты пленки из концентрированных растворов в мета-крезоле. Пленки обладают сильной адгезией к стеклу.

ЛИТЕРАТУРА

- Wittbecker E. L., Morgan P. W. J. polymer sci. № 136, 1959. 2 Morgan P. W., SPEJ, 15, 485, 1959. 3. Thomson G., Shiers G. J. polymer sci. A2, 1051, 1964. 4. Beaman R. G., Morgan P. W., Koller C. R., Wittbecker E. J. polymer sci., № 136, 1959. 5. Фрунзе Т. М., Курашев В. В., Козлов Л. В. Усп. химии, 30, 593, 1931. 6. Wittbecker E. L., Morgan P. W., J. pol. sci., 40, 289, 1959. 7. Соколов Л. Б. Поликонденсационный метод синтеза полимеров. М., 1966. 8. Поконова Ю. В. Галоидеры. М.—Л., 1966. 9. Littlesfield F. Lieb. Апп. 330,08, 1904. 10. Lichtenberger J., Martin I., Bull. S. chim. France, 12, 114, 1945—468, 1947. 11. Шахмал Мамедов, Поконова Ю. В., Раев А. С. ЖХХ, 33, 1165, 1963. 12. Поконова Ю. В., Петров А. А., Мустафаев В. А. Авт. свид. СССР, № 1077547, 23—5. 13. Müller P. Франц. пат. 124 0008, 25.07.1960; РЖХим, 19Л83, 1961. 14. Kocher F. Пат. США, 3076688, 1963; С. А. 58, 8088, 1963. 15. Morgan P. W., Kwolek S. W., J. pol. sci. 40, 289, 1959.

Азерб. институт нефти и химии
им. М. Азизбекова, Ленинградский
химико-технологический институт
им. Ленсовета

Поступило 4. V 1967

Мәгәлә фазаларасы поликонденсасија реаксијасында имканларын дихлорметилефирләрин тәтбигиндән бәйс едир. Көстәрилмишdir ки, дихлорметилефириң һексаметилендиаминалә гарышлыгы тә'сириниң сур'әти ион реаксијасы үзрә кедир.

Дени нөв полимерләрин—полиаминофирләрин дөрд нұмајәндәсі синтез олунмуш вә бә'зи физики-кимјәви хасселәри тәдгиг едилмишdir.

Ц. М. НАЙБЕРГ, Н. М. СЕИДОВ, А. Е. ПОРТЯНСКИЙ, М. А. ДАЛИН

ИЗУЧЕНИЕ СТРУКТУРЫ ХЛОРИРОВАННОГО ЭТИЛЕН-ПРОПИЛЕНОВОГО ЭЛАСТОМЕРА

Известно, что этилен-пропиленовый эластомер имеет предельный характер. Это приводит к получению вулканизатов с высокой озоностойкостью, теплостойкостью, гибкостью при низких температурах.

Однако такие эластомеры не вулканизуются обычными вулканизующими системами. При применении перекисной вулканизации встречается ряд трудностей [1].

Введение функциональных групп, например, хлора, в такие насыщенные сополимеры позволяет проводить вулканизацию их серой.

В ранее опубликованной нами работе [2] изложены результаты термического хлорирования этилен-пропиленового сополимера.

Целью же настоящей работы является изучение структуры хлорированного этилен-пропиленового эластомера методом инфракрасной спектроскопии.

В работе был использован этилен-пропиленовый эластомер со следующей характеристикой: содержание пропилена в сополимере 50% мольных, характеристическая вязкость в декалине—1,65, удельный вес—0,862 г/см³, вязкость по Муни—53, растворимость в толуоле—100%.

Исследовались образцы с содержанием хлора от 4,5 до 40 вес. %. Определение хлора в хлорированном сополимере проводили по методу Шёнигера, переработанному применительно к полимерам [3]. Образцы для съемки готовились методом осаждения из раствора CCl₄ с последующим удалением растворителя путем сушки в вакууме. Съемка образцов проводилась на спектрофотометре UR-20 в области 400—4000 см⁻¹.

Полученные полимеры дегидрохлорировались и были сняты ИК-спектры этих образцов.

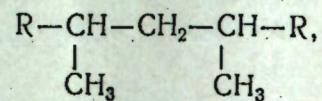
Спектры хлорированных сополимеров (область 400—1800 см⁻¹) показаны на рис. 1 и 2.

Сравнение спектров хлорированных сополимеров со спектром исходного сополимера показывает, что в результате хлорирования понижается интенсивность ряда полос поглощения: 730, 975, 1155, 1550—1560 см⁻¹ (A) и возникают новые полосы поглощения: 580, 625, 670, 690, 780, 940, 1035 ± 10, 1205 ± 10, 1265 ± 10, 1650 и 1745 см⁻¹ (B).

Интерпретация этих данных проводилась путем анализа полос (A), предварительного отнесения полос (B) к функциональным группам с последующим уточнением по спектрам дегидрохлорированных образцов.

Вопрос о размещении пропиленовых звеньев в сополимерной цепи имеет важное значение для представления о механизме хлорирования.

Наличие в спектре (рис. 1) полос 975 и 1155 cm^{-1} , по данным Натта [4], относится к построению мономеров в сополимерной цепи по типу „голова—хвост”; эти же полосы наблюдаются в спектрах разветвленных алканов [5] общей формулы



где $\text{R}=\text{CH}_3, \text{C}_2\text{H}_5, \text{C}_3\text{H}_7$.

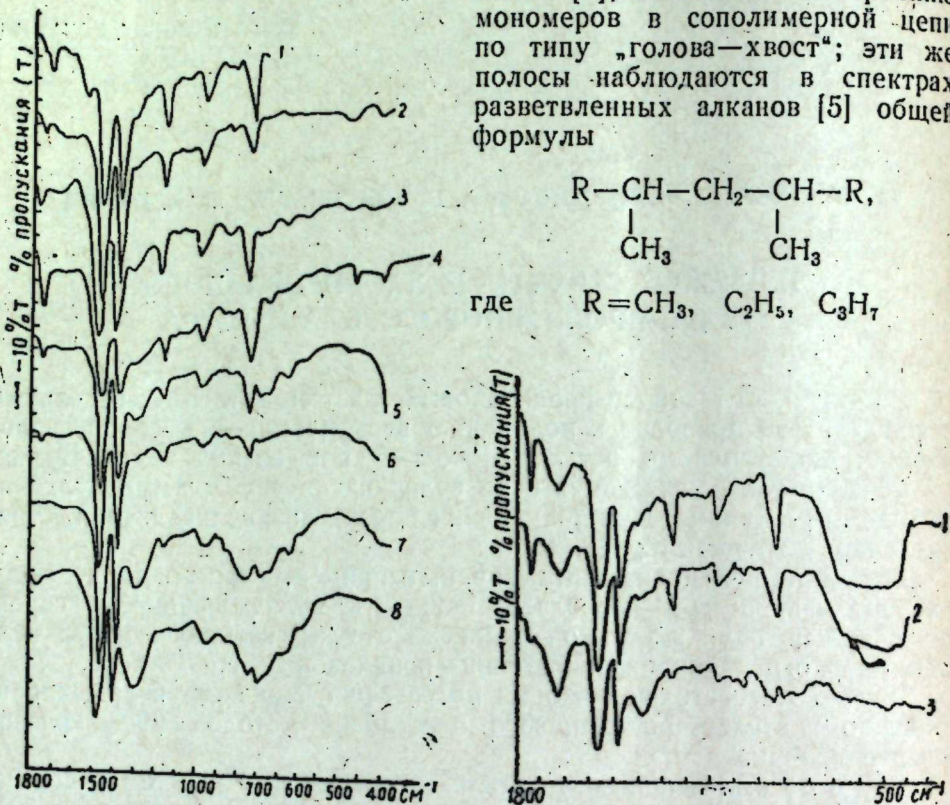
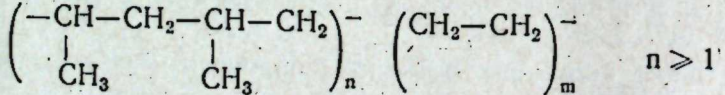


Рис. 1. ИК-спектры исходного и хлорированных этилен-пропиленовых сополимеров: 1—исходный этилен-пропиленовый сополимер; 2—8—хлорированные этилен-пропиленовые сополимеры с содержанием хлора (вес.%) соответственно: 4, 5, 7, 11, 15, 20, 25, 40.

Все это свидетельствует о том, что пропиленовые звенья в сополимерной цепи находятся в основном в следующих сочетаниях:



При хлорировании сополимера такого строения следует ожидать атаки хлором, в первую очередь, третичного, затем вторичного и, наконец, первичного атома углерода.

Полосы (B) хлорированных сополимеров сопоставлялись с литературными данными [5—15]. При таком сопоставлении становится ясным, что при хлорировании ослабляются полосы (A), присущие в основном звеньям пропилена. Интенсивность полос серии (B) по-разному изме-

няется с ростом содержания хлора в сополимере. Уже при малых содержаниях хлора наблюдается скачкообразный рост интенсивностей

полос 580 и 625 cm^{-1} (обе —C—Cl), которые в дальнейшем не усиливаются. Следовательно, в первую очередь хлорирование сополимера идет по третичному углеродному атому.

Одновременно с этим растут интенсивности полос 690 и 940 cm^{-1} , но с ростом содержания хлора этот рост продолжается. Мы истолковываем это как факт хлорирования по типу —CHCl— , происходящий в течение всего периода хлорирования. Таким образом, второй тип замещения—хлорирование по вторичному углеродному атому.

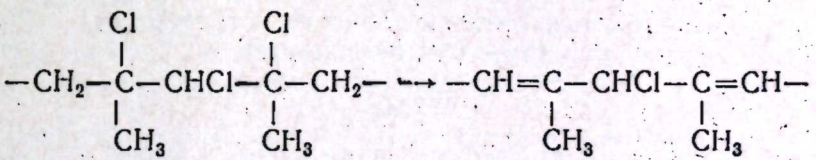
Наконец, полосы 780, 1035, 1270 cm^{-1} , почти не изменяются с ростом содержания хлора в сополимере. Поведение этих полос, приписанных нами к CH_2Cl -группам, свидетельствует о наименьшей скорости хлорирования по первичному атому углерода.

Исследовались также спектры дегидрохлорированных образцов. Дегидрохлорирование проводили смешением хлорированного сополимера с одной частью окиси цинка при 160°C. Сопоставление полученных спектров, представленных на рис. 1 и 2, показывает, что в результате дегидрохлорирования исчезают полосы 580 и 830 cm^{-1} , ослабляются полосы 970 и 1050 cm^{-1} , усиливаются полосы $930 \pm 10 \text{ cm}^{-1}$, появляются полосы 400—500, 860—870, 1650—1750 cm^{-1} (С). Полоса при 150 cm^{-1} , относящаяся к связи $\text{C}=\text{O}$, свидетельствует о термоокислении сополимера [6], происходящем в процессе дегидрохлорирования. Полоса 450 cm^{-1} принадлежит окиси цинка. Остальные полосы (С) интерпретируются следующим образом: уменьшение до нуля

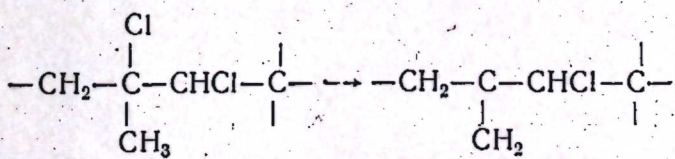


интенсивности полосы 580 cm^{-1} , отнесеной к звену —C—Cl , говорит об

отрыве атомов хлора у третичного углеродного атома. Полоса 830 cm^{-1} (τ CH_2 -колебания в звене пропилена [16]) ведет себя при дегидрохлорировании подобно полосе 580 cm^{-1} . Тогда предлагаемый механизм дегидрохлорирования будет следующим:



Полосы, ожидаемые в этом случае в области 810—840 cm^{-1} , могут быть компенсированы уменьшением поглощения полосы 830 cm^{-1} (CH_2 -группы). Ослабление при дегидрохлорировании полосы 975 cm^{-1} (CH_3 -группа в атактическом полипропилене [17]), не изменяющейся при хлорировании, мы приписали отрыву водорода от CH_3 -групп. В этой связи появление полосы при 865 cm^{-1} следует приписать образованию винилиденовых групп по схеме:



Низкочастотный сдвиг объясняется соседством с атомом хлора. Появление (или усиление) полосы 1650 см^{-1} приписывается образованию $\text{C}=\text{C}$ связей при дегидрохлорировании. Появление ее в спектрах некоторых хлорированных образцов свидетельствует о частичном дегидрохлорировании сополимеров в процессе хлорирования. Однако, введение окиси цинка (акцептор HCl) резко ускоряет этот процесс, что видно по ИК-спектрам.

Выводы

1. Методом ИК-спектроскопии изучена структура термически хлорированного этилен-пропиленового эластомера.
2. Установлено, что скорости хлорирования по третичному, вторичному и первичному атомам углерода изменяются в следующей последовательности: с наибольшей скоростью хлорирование идет по третичному, затем по вторичному и, наконец, с наименьшей скоростью по первичному атомам углерода.
3. Предложены схемы реакций дегидрохлорирования изученного эластомера и показано, что дегидрохлорирование протекает в основном, в процессе вулканизации.

ЛИТЕРАТУРА

1. Сейдов Н. М. Новый синтетический каучук на основе этилена и пропилена. Азернешр, 1966. 2. Сейдов Н. М., Найберг Ц. М., Далин М. А. ДАН Азерб. ССР, 1966, т. XXII, № 4, 34. 3. Соколова Н. В., Орестова В. А., Николаева М. А. Журнал аналитической химии, 1959, 14, 472. 4. Natta G. Journal of the Polymer Science; 1965, 3, ptA, № 1. 5. Fredriksen O. Die Makromol. Chemie, 1967, B, 100, 231. 6. Джагацпания Р. В. и др. ВМС, 1965, № 11, 1959. 7. Джагацпания Р. В. и др. ВМС, 1966, № 1, 125. 8. Адылов С. А. и др. Нефтехимия, 1963, № 1, 82. 9. Alligo. Rev. gen. caoutchouc, 1955, 40, NI, 42. 10. Лизогуб А. П. Спектральный анализ в органической химии, Киев, 1964. 11. Documentation of Molecular Spectra. Catalog of Infrared Data, Butterworths, 1960. 12. Ind. and Eng. Chem. (Anal. Ed.), 1943, 15, № 11, 676. 13. Применение спектроскопии, под. ред. Веста В., М., 1959. 14. Ambrose E. I. Proc. Roy. Soc. 1949, A 199 183. 15. Bellamy L. ИК-спектры сложных молекул, М., 1963. 16. Longo. Anal. Chemistry, 1961, 33, № 13, 1816. 17. Лянг Ч. в кн. „Новейшие успехи в изучении полимеров“. Под ред. Ки. М., 1966.

ВНИИОЛЕФИН и ОЗ

Поступило 16. VI 1967

С. М. Најберг, Н. М. Сейдов, А. І. Партиански, М. А. Далин

Хлорлашмыш этилен-пропилен каучукунун структурунун өјрәнилмәси

ХУЛАСӘ

Мәгаләдә хлорлашмыш этилен-пропилен каучукунун ИК спектри өсүтәсилә структуру верилмишdir.

Мә'лүм олмушdur ки, хлорун 3-лү карбон атомуна бирләшмә сүр'әти 2-ли вә 1-ли карбон атомуна бирләшмә сүр'әтиндән чохдур. Буидан башга, хлорлашмыш этилен-пропилен каучукунун деңидрохлорлашмасы да өјрәнилмишdir. Алынан нәтичәләрдән айдын олур ки, деңидрохлорлашма әсас е'тибарилә вулканлашма просесидә кедир. Мәгаләдә деңидрохлорлашма реаксијасынын схеми көстәрилмишdir.

ФИЗИЧЕСКАЯ ХИМИЯ

Ф. Д. МАМЕДОВ, В. М. ТАТЕВСКИЙ, М. А. САЛИМОВ

СПЕКТРОФОТОМЕТРИЧЕСКОЕ ИССЛЕДОВАНИЕ МЕЖМОЛЕКУЛЯРНОЙ ВОДОРОДНОЙ СВЯЗИ

(Представлено академиком АН Азербайджанской ССР А. М. Кулевым)

Сделана попытка с помощью ультрафиолетовых спектров поглощения доказать образование водородной связи между молекулами производных фенола (фенол, о-, т-, р-крезолы) и триэтиламина в н-гептане и вычислить термодинамические характеристики указанной связи ΔF , ΔH и ΔS .

В настоящей работе исследуется межмолекулярная водородная связь, образующаяся между производными фенола и триэтиламином. Водородная связь образуется между атомом водорода OH-группы производных фенола и атомом азота триэтиламина, в результате чего происходит ассоциация молекул указанных веществ и возникают ассоциаты с водородным мостиком.

Измерение константы равновесия k ассоциаций производных фенола с триэтиламином позволяет вычислить термодинамические характеристики водородной связи, образующейся между указанными молекулами: изменения свободной энергии — ΔF , энталпии — ΔH и энтропии — ΔS .

ЭКСПЕРИМЕНТАЛЬНАЯ ЧАСТЬ

Константы равновесия k были определены путем снятия ультрафиолетовых спектров поглощения самих производных фенола и их смесей с триэтиламином в н-гептане при температурах 10,25 и 40°C (283,15; 298,15 и 313,15°K).

Указанные спектры сняты на кварцевом спектрофотометре СФ-4, снабженном термостатирующим устройством. Измерения проводились в области спектра 260—300 мкм через 1 мкм . При измерениях употреблялись прямоугольные кюветы толщиной 1 см.

Концентрация производных фенола была равной $4,3 \cdot 10^{-4}$ моль/л, а концентрации триэтиламина — $1,25 \cdot 10^{-2}$ моль/л и $5,00 \cdot 10^{-2}$ моль/л.

Метод спектрофотометрического определения константы равновесия k ассоциаций производных фенола с триэтиламином в н-гептане нами был подробно описан ранее [1].

Таблица 1

Значения константы равновесия K ассоциаций фенола, о-, т-, р-крезолов с триэтиламином при различных температурах

№ пп	Система	10°C	25°C	40°C
1	Фенол-триэтиламин в н-гептане	157,3	76,7	36,0
2	о-крезол-триэтиламин в н-гептане	104,6	41,5	20,5
3	т-крезол-триэтиламин в н-гептане	129,5	64,5	34,2
4	р-крезол-триэтиламин в н-гептане	124,9	60,7	32,0

Изменение свободной энергии ΔF при образовании водородной связи между молекулами производных фенола и триэтиламина вычислено по уравнению

$$\Delta F = RT \ln K, \quad (1)$$

где R — универсальная газовая постоянная, T — абсолютная температура, K — константа равновесия.

Таблица 2

Значения изменений свободной энергии ΔF , энталпии ΔH и энтропии ΔS при образовании водородной связи

№ пп	Система	ΔF (ккал/моль)			ΔH (ккал/моль)	ΔS (ккал/моль, г)
		283,15°C	298,15°C	313,15°C		
1	Фенол-триэтиламин в н-гептане	-2,846	-2,571	-2,230	-8,569	-20,200
2	о-крезол-триэтиламин в н-гептане	-2,617	-2,207	-1,880	-9,468	-24,267
3	т-крезол-триэтиламин в н-гептане	-2,737	-2,469	-2,193	-7,694	-17,534
4	р-крезол-триэтиламин в н-гептане	-2,716	-2,433	-2,157	-7,879	-18,267

Изменения энталпии ΔH и энтропии ΔS при образовании водородной связи вычислены методом наименьших квадратов [2], пользуясь уравнением

$$RT \ln K = -\Delta H + T \cdot \Delta S. \quad (2)$$

ОБСУЖДЕНИЕ РЕЗУЛЬТАТОВ

Образование водородной связи между молекулами производных фенола и триэтиламина находит свое отражение на ультрафиолетовых спектрах поглощения. В системе фенол-триэтиламин в н-гептане при длине волн $\lambda = 282 \text{ } \mu\text{m}$ появляется новая, интенсивность которой повышается с падением температуры (рис. 1, 2, 3).

Для систем о-крезол-триэтиламин, т-крезол-триэтиламин, р-крезол-триэтиламин в н-гептане, указанная новая полоса появляется соответственно при длинах волн $\lambda = 282 \text{ } \mu\text{m}$, $283 \text{ } \mu\text{m}$, $290 \text{ } \mu\text{m}$ (рисунки не прилагаются). И в спектрах этих трех систем с падением температуры повышается интенсивность полосы, соответствующей водородной связи.

Такая чувствительность ультрафиолетовых спектров поглощения указанных растворов к температуре может быть одной из основных спектральных особенностей систем с водородной связью. Она может служить как доказательство наличия водородной связи, потому некоторые исследователи рассматривают ее как основной критерий наличия водородной связи [3, 4, 5].

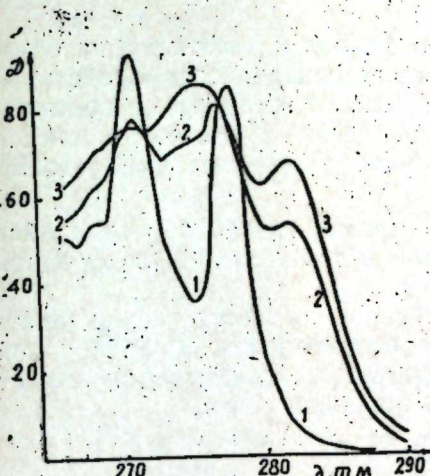


Рис. 1. Спектр поглощения фенола в смеси триэтиламина с н-гептаном (тройная система). Концентрация фенола $4,3 \cdot 10^{-4} \text{ M}$; концентрации триэтиламина 0; $1,25 \cdot 10^{-2} \text{ M}$; $5 \cdot 10^{-2} \text{ M}$ соответственно для кривых 1, 2, 3 при 10°C .

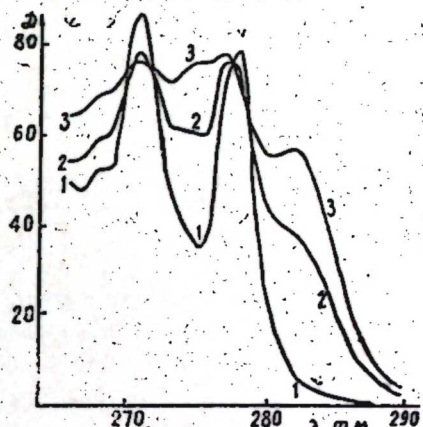


Рис. 2. Спектр поглощения фенола в смеси триэтиламина с н-гептаном (тройная система). Концентрация фенола $4,3 \cdot 10^{-4} \text{ M}$. Концентрации триэтиламина 0; $1,25 \cdot 10^{-2} \text{ M}$; $5 \cdot 10^{-2} \text{ M}$ соответственно для кривых 1, 2, 3 при 25°C .

Результаты проведенного исследования показывают, что, сохранив постоянную концентрацию производного фенола и увеличив концентрацию триэтиламина, наблюдается повышение интенсивности полосы, соответствующей водородной связи и, следовательно, увеличение концентрации ассоциата с водородным мостиком (см. рис. 1, 2, 3). Таким образом, изменение концентрации триэтиламина весьма заметно сказывается на виде полученных ультрафиолетовых спектров поглощения.

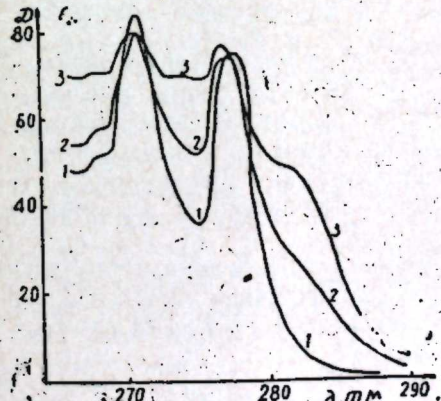


Рис. 3. Спектр поглощения фенола в смеси триэтиламина с н-гептаном (тройная система). Концентрация фенола $4,3 \cdot 10^{-4} \text{ M}$; концентрации триэтиламина 0; $1,25 \cdot 10^{-2} \text{ M}$; $5 \cdot 10^{-2} \text{ M}$ соответственно для кривых 1, 2, 3 при 40°C .

Выводы

1. Сняты ультрафиолетовые спектры поглощения четырех производных фенола и их смесей с триэтиламином при двух концентрациях последнего в среде *n*-гептана при температурах 10,25 и 40°C. Пользуясь полученными спектрами, вычислены константы равновесия *K* ассоциации указанных производных фенола с триэтиламином при этих же температурах.

2. Между молекулами производного фенола и триэтиламина образуется водородная связь, приводящаяся к ассоциации взаимодействующих молекул, в результате которой возникают ассоциаты с водородным мостиком. Образование указанной связи в растворах смесей сопровождается появлением новой полосы в их ультрафиолетовых спектрах поглощения.

3. Рассчитаны термодинамические характеристики образующейся между молекулами производных фенола и триэтиламина водородной связи: ΔF , ΔH и ΔS для четырех систем.

4. Возрастание температуры на 15°C сопровождается весьма заметным понижением интенсивности полосы, соответствующей водородной связи в ультрафиолетовых спектрах поглощения и поэтому она может служить как доказательство наличия водородной связи.

ЛИТЕРАТУРА

1. Мамедов Ф. Д., Салимов М. А. Журн. прикладной спектроскопии, т. V, вып. 4, 474, 1966.
2. Карапетьянц М. Х. Химическая термодинамика. Госхимиздат, 1953.
3. Coggeshall N. D., G. Am. Chem. Soc., 69, 1620, 1947.
4. Батуев М. И. ДАН СССР, 59, 1117, 1948.
5. Чулановский В. М., Симова П. Д. ДАН СССР, 68, 1033, 1949.

ИНХП

Поступило 13. III 1967

Ф. Ч. Мамедов, В. М. Татевски, М. А. Салимов

Спектрофотометрија методу илә молекулларасы
һидрокен рабитәсинин тәдгиги

ХУЛАСЭ

Мәгаләдә фенол тәрәмәләри (фенол, о-, т-, р-крезоллар) молекулларының триэтиламиин молекуллары илә *n*-гептан мүһитиндә гарышылыгы тә'сири нәтичәсүндә йаранан һидрокен рабитәси верилмишdir. Ултрабәнөвшәји спектрләрдән истифадә етмәклә, һәмин системаләрдә йаранан һидрокен рабитәсинин термодинамик характеристикалары: сәрбәст енергияни, ентальпијаны вә ентропијаны дәжишмәси (ΔF , ΔH вә ΔS) несабланымышдыр.

Алынан нәтичәләр көстәрир ки, һидрокен рабитәсинин йаранмасы илә спектрләрдә. Ени золаг әмәлә кәлир. Тэмпературни 15°C артмасы илә бу золағын интенсивлији кәскин азалыр ки, бу да һәмин рабитәсин йаранмасыны субут едән факт ола биләр.

ГЕОЛОГИЯ

Р. А. ГАДЖИЕВ

ИЗМЕНЕНИЯ РЕЖИМА УРОВНЕЙ ГРУНТОВЫХ ВОД БАКИНСКОГО АМФИТЕАТРА И ЕГО ПРИЧИНЫ

(Представлено академиком АН Азербайджанской ССР Ш. Ф. Мехтиевым)

Безнапорные воды Бакинского амфитеатра залегают в отложениях Древнего Каспия и современных. Наиболее водоносными являются горизонты хазарских террас, а также воды, залегающие в контакте хазарских и апшеронских (или бакинских) отложений. Воды апшеронского яруса, когда они залегают под верхним безнапорным горизонтом, обладают некоторым напором.

Там, где в рельефе мульды наблюдаются денудационные уступы, имеют место выходы грунтовых вод, питающих затем горизонты нижележащей ступени рельефа. Так, воды хазарских террас питают горизонты хвальинских, новокаспийских и современных элювио-делювиальных и эоловых отложений.

Питание безнапорного горизонта, согласно Н. М. Победоносцеву, происходит, в основном, на месте и определяется модулем формирования грунтовых вод. Таким образом, область формирования грунтового потока лежит в границах подземных водоразделов, отделяющих Бакинский амфитеатр от окружающих его долин.

В границах Бакинского амфитеатра местами встречается временный горизонт "верховодки". Происхождение его связано, как правило, с поверхностным, локальным либо во времени, либо пространстве, питанием верхних классических грунтов зоны аэрации. В отдельных случаях горизонт верховодки может питаться водой разного рода утечек из неисправных водопроводных и канализационных труб. Как характерный пример этого рода питания можно привести факт усиления деформации в фундаментах и зданиях, в результате увлажнения грунта на нижней оползневой террасе Байловского оползня и аналогичное усиление деформаций Зыхского оползня. Впрочем, кроме скоплений верховодки в верхних горизонтах оползневой террасы, большое значение имеют для оползней нижележащие горизонты грунтовых и напорных вод, обеспечивающие, в частности, выпор (выдавливание) грунтов в основании оползневого склона, образующий вал выпирания. Несмотря на то, что верховодка для Бакинского амфитеатра — явление не характерное и ни в одном из районов Бакинского

плато, как и на побережье Бакинской бухты, не получила сколько-нибудь заметного распространения, тем не менее, в некоторых районах города (Байлов, Черный город, Зых) она имеется и несомненно связь ее с грунтовыми и более глубокими, в том числе древнекаспийскими и аштеронскими горизонтами подземных вод.

Несомненно, что между грунтовыми водами и верховодкой местами существует связь и с поверхностными водами и, прежде всего с нефтепромысловыми, однако изучением этого вопроса до последнего времени гидрогеологи почти не занимались, хотя начало было положено работами Бакинского филиала института "Водгео" (Ф. М. Гашим-заде, 1965 г.), результаты которых использованы нами в настоящей статье.

Режим грунтовых вод Бакинского амфитеатра характеризуется чрезвычайной мобильностью. Это связано с тем расширением строительства и благоустройства города, которое наблюдается в последние 10–15 лет.

Так, например, Байловский (оползневой) склон на пространстве от мыса Байлов до фуникулера, где расположены наблюдательные скважины Аштеронской гидрогеологической станции под №№ 10, 12, 13 и 16 показывают периодические и притом очень большие колебания уровня грунтовых вод не только в разрезе одного гидрогеологического года, но и в многолетнем разрезе. Особенно характерной в этом отношении является скважина № 16, заданная в центральной части района на древнем оползне. Эта скважина показала очень высокое положение уровня грунтовых вод в начале периода наблюдений (1955 г.), а затем быстрое (1957 г.) падение уровня. Падение это еще ускорилось в 1962 г., когда уровень грунтовых вод достиг наименьшего значения. Амплитуда этих колебаний достигала 3 м (от абс. отм. 12–15 м). В последние годы наблюдений (1963–1964 гг.) уровень грунтовых вод характеризуется промежуточными глубинами стояния. Причиной этих колебаний явился периодический ремонт водонапорных и канализационных труб, связанный с нарушениями их целостности при подвижках грунтов на оползневом массиве.

Иной ход колебаний уровня показала скважина № 10, заложенная за пределами активной зоны оползня. Здесь наблюдался довольно неуклонный подъем уровня грунтовых вод в 1963–1964 гг., когда подобный подъем уровня имел место и в других скважинах Бакинского амфитеатра, что связано с большим количеством выпавших в эти годы атмосферных осадков.

На территории пониженной части амфитеатра от площади Азнефти до Черного города кривые колебаний уровня грунтовых вод имели 2 максимума: осенне-зимний и весенне-летний, причем летний максимум по высоте и продолжительности, уступал зимнему. Многолетние колебания уровня здесь незначительны, благодаря близкому к поверхности земли залеганию уровня грунтовых вод. Общая тенденция характеризуется постепенным повышением уровня грунтовых вод, что связано не только с климатическими, но и антропогеновыми факторами (поливы зеленых насаждений и др.).

Режим уровня грунтовых вод хазарских террас западного крыла Бакинского амфитеатра характеризуется двумя наблюдательными скважинами (№№ 84 и 102). Скважина № 84 характеризуется резкими ежегодными понижениями уровня с июля по ноябрь–декабрь. Так, в 1955 и 1956 гг. уровень грунтовых вод поникался летом более, чем на 1,5 м, против стояния его в первом полугодии. Это было связано с резкими температурными скачками вследствие прогрева верхних оголенных горизонтов почвы, не защищенных растительным покровом. Начиная с 1958 г., благодаря озеленению и застройке этой части города, колеба-

ния уровня грунтовых вод стали меньше и график их получил сглаженный характер.

В скважине № 102 за период наблюдений из года в год отмечался неуклонный подъем уровня. С 1953 г. по 1961 г. уровень воды в скважине поднялся на 3,5 м, т.е. в среднем почти по 0,4 м в год. Причина этого закономерного повышения уровня связана с инфильтрацией в грунт поливных, а также технических водопроводных, канализационных и др. вод. Во всяком случае, сопоставление режимов уровней воды в этих скважинах с уровнями воды в других наблюдательных скважинах амфитеатра свидетельствует о режиме противоположном этой совершенно нормальной картине изменения уровня грунтовых вод.

Так, в западной части Бакинского амфитеатра с 1953 по 1962 гг. в наблюдательной скважине № 99 график колебания уровня неуклонно повышается. Здесь отсутствуют крупные промышленные предприятия, нефтяные буровые скважины, оползневые массивы, что вместе и является причиной сглаженного характера графиков. На обширной площади развития хвалынских и новокаспийских террас вообще наблюдается постепенный подъем уровня в течение всего срока наблюдений. С 1955 по 1958 гг. эта тенденция выражалась слабо, но уже с 1959 г. подъем уровня становится непрерывным в течение каждого гидрологического года, а влияние же искусственных факторов здесь крайне ограничено и на графиках колебаний уровня никак не отражается.

Нагорная часть города и Чимберикенд в отличие от предыдущих участков несет на себе отчетливые следы влияния искусственных факторов на режим грунтовых вод. При этом отчетливо выделяется различие режимов северной части участка (скв. № 194 и 82) и южной полосы (скв. № 92 и 195). Для скважин северной полосы характерна изменчивая направлённость колебаний уровня: с 1956 г. по 1959 г. наблюдается подъем уровня грунтовых вод, в период с 1959 г. по 1963 г. наблюдается резкое падение его. В южной части района, напротив, наблюдается постепенный и неуклонный подъем уровня с редкими пиками, зависящими от искусственных причин. Плавный, в целом характер кривых иногда нарушается неожиданными пиками, например, в конце мая–июня 1958 г. в скважине № 194 (см. рис. 1).

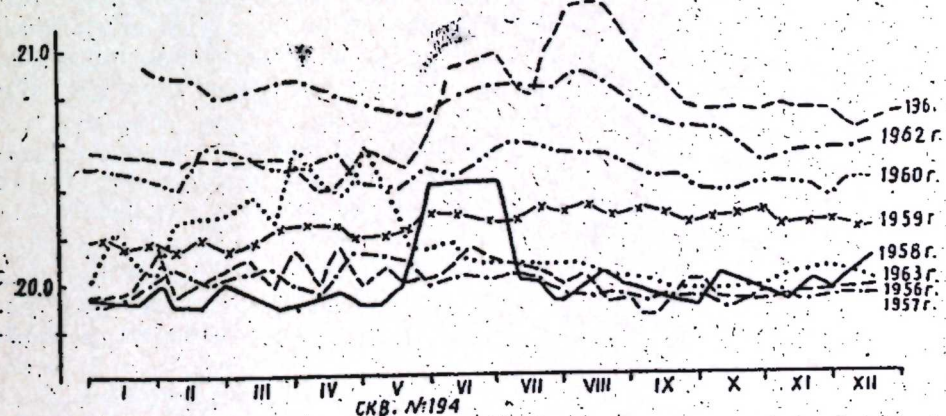


Рис. 1

Режим уровня грунтовых вод характеризуется здесь относительной стабилизацией с 1953 г. по 1957 г., что особенно отчетливо видно

на графиках скважин №№ 95 и 104 (см. рис. 2). С 1957 г. начинается довольно быстрый подъем уровня, а в конце периода наблюдений (1962—1964 гг.) некоторый спад. Эта картина повторяется и в скважинах № 90 и 91, но здесь амплитуда многолетних спадов уровня возрастает до 4,5—5,0 м.

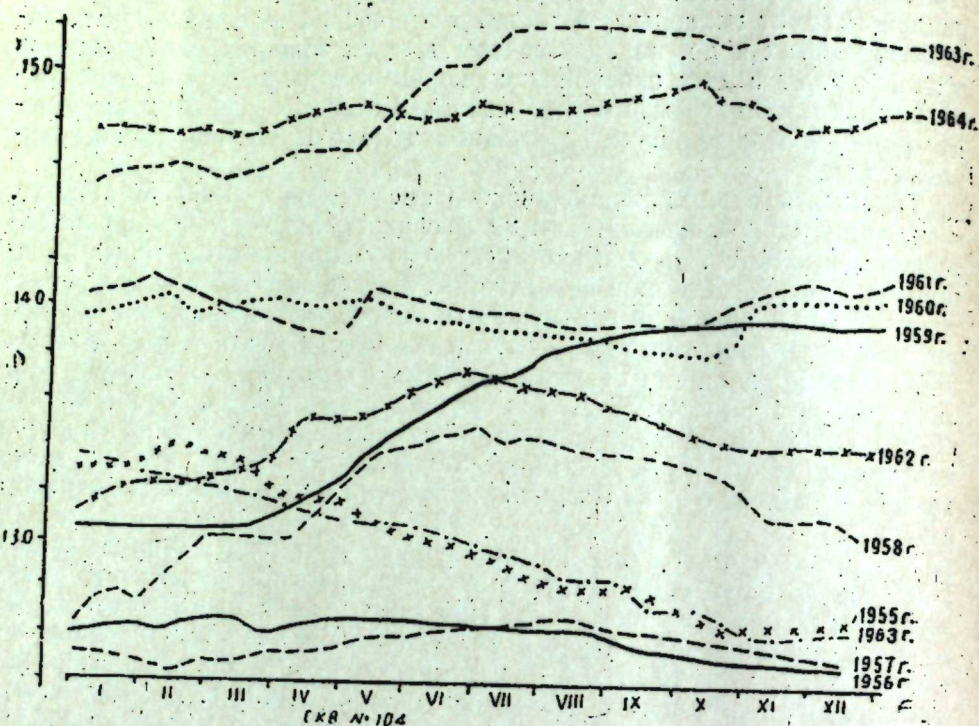


Рис. 2

Наиболее вероятная причина этого явления — уменьшение поливов. Оно связано с тем, что массовое озеленение пригородов этого района, проводившееся с 1950 г., к 1957 г. настолько развились, что уже не стало нуждаться в обильных поливах, в результате чего поливы резко уменьшились, и подъем уровня стал более умеренный. Известное значение имели и иные искусственные факторы, как откачка грунтовой воды при строительстве путепровода на Московском проспекте, проведение канализационных коллекторов (в частности, магистрального) и другие искусственные причины.

Большая часть Кишиневского плато характеризуется двумя наблюдательными скважинами — №№ 96, 97. Графики колебаний уровня грунтовых вод в них говорят об ускоренном подъеме их, хотя в отдельные годы наблюдалась инверсия.

В целом кривые годичного цикла наблюдений плавные, с максимумом в конце апреля — начале мая и минимумом в октябре — начале ноября. Влияние местных, локальных причин на графиках почти не улавливается.

Террасированный склон Кишиневского плато характеризуется крайне прихотливыми колебаниями уровня в течение гидрогеологического года. Здесь наблюдаются многочисленные пики, сменяющиеся глубокими впадинами, свидетельствующими о резких изменениях режима уровней в скважинах (скв. № 101 и 88).

Своебразный режим прослеживается на Зыхе в районе пос. За-

готзерно. Здесь максимум стояния уровней в годичном цикле наблюдается в конце апреля — начале мая, минимум — в августе — октябре.

Особый интерес представляют наблюдательные скважины, заложенные на Зыхском оползневом массиве. Начиная с 1953 г. они показывают быстрое повышение уровня грунтовых вод. Причиной этого являются частые повреждения линий водопровода и канализации, проложенных по оползневому массиву. В деформированном грунте оползневых террас процессы фильтрации протекают быстрее, чем в обычных делювиальных грунтах. Вследствие этого подъем уровня грунтовых вод происходит здесь более интенсивно, нежели в нетронутом подвижками цикле. Особенно интенсивным оказался подъем уровня в скважинах №№ 77 и 78.

Участок, лежащий к северу за пределами Зыхского оползневого массива, характеризуется постепенным понижением уровня грунтовых вод, что, по-видимому, связано со строительством глубокого коллектора, для отвода промысловых вод. Коллектор этот был заглублен значительно ниже уровня грунтовых вод и в известной степени дренирует грунтовые воды, снижая их уровень.

Соответствующая картина постепенного из года в год снижения уровня иллюстрируется графиками скв. №№ 1 и 2. Здесь в течение ряда лет происходил постепенный спад уровня на 40—50 см.

Нами приведена здесь лишь краткая характеристика режима уровня грунтовых вод Бакинского амфитеатра только по небольшому количеству (до 10%) наблюдательных скважин. Но и этого количества данных по наблюдениям за режимом уровня оказывается вполне достаточно для вывода заключения о необыкновенной мобильности этого режима. Эта мобильность появилась, однако, лишь с 1953 г., причем она стала одновременно проявляться и во времени и по территории амфитеатра. Выявление частных причин мобильности в каждом конкретном случае показывало на разнообразие последних.

Выявленная регулярными наблюдениями общая тенденция уровня грунтовых вод амфитеатра к более или менее интенсивному его поднятию во многих случаях приводила к появлению подпочвенных вод в подвалных помещениях, развитию сырости в стенах зданий, к появлению родников и заболоченостей в черте города и других, чрезвычайно неблагоприятным явлениям (появление комаров и москитов в городе), спорадическая борьба с которыми оказалась недостаточно эффективной, хотя и очень хлопотливой.

Выявленная с 1953 г. мобильность и тенденция повышения уровня грунтовых вод амфитеатра нашла объяснение в том, что с этого года в пределах города и всего Бакинского амфитеатра стало широко развертываться гражданское строительство, сопровождавшееся усилением старых и прокладкой новых водопроводных и канализационных сетей, а также труб-ливнеспусков, широкой посадкой древесных и декоративных насаждений. Первые давали разнообразные утечки воды под почвой, вторые с самого начала регулярно поливались.

В результате всего этого уровень грунтовых вод на всей территории Бакинского амфитеатра стал испытывать более или менее сильную, необычную, очень разнообразную, а иногда и скачкообразную мобильность. Создался крайне неуравновешенный режим, следствие все еще продолжающегося расширения и усиления темпов строительства в новых микрорайонах, — крупных городских спутниках. Поэтому совершенно необходимо регулярные наблюдения за уровнем грунтовых вод продолжать на всей территории Бакинского амфитеатра и лишь после окончания коренной застройки всей этой территории может быть по-

ставлен вопрос о выявлении установившихся типов режима грунтовых вод амфитеатра и соответствующего гидрогеологического районирования последнего по характерным типам режима и возможного на основе этого сокращения и изменения сети наблюдательных скважин.

ЛИТЕРАТУРА

1. Биячев К. А., Гаврилов М. Д. и др. Инженерно-геологическая характеристика района г. Баку, 1950. Фонды Азголуправления.
2. Мамедъяров М. М., Иманов Р. Карта грунтовых вод Бакинской мульды. Фонды Ин-та геологии АН Азерб. ССР, 1963.
3. Отчеты по режимным наблюдениям Апшеронской гидрогеологической станции. Фонды Азголкома 1939—1966 гг.

Институт геологии

Поступило 19. VI 1967

Р. А. Һачыев

Бакы амфитеатрынын грунт суларынын режиминин дәжишилмәси вә онун сәбәбләри һагында

ХУЛАСӘ

Мәгаләдә ёјрәнмәк истәдијимиз саһәнин грунт суларына тә'сир едән амилләрин сәбәбләри гыса шәрх едилмишdir. Белә ки, Бакы мүлдасынын саһәси мүлки вә сәһијјә објектләrinин ишаат биналары илә әһәтә олуңмушшур. Бурада грунт суларынын режими сырф сүн'и характер дашиыыр. Бу режим инсанларын ярадычы фәалијјетинә тә'сир едир. Анчаг бә'зи сүрүшмә саһәләrinдә грунт суларынын режими бу саһәләrin йамачларында жатан сухурларла әлагәдардыр.

Мәгаләдә грунт суларынын дәжишилмәсini көстәрән ики график верилмишdir ки, һәмин графикләrdә бу вә ja дикәр дәжишилмәни гыса иәтичәләри көстәрилмишdir.

ГЕОФИЗИКА

Ф. Т. КУЛИЕВ, В. А. АЛИЕВ, К. Ш. ИСЛАМОВ

ИМИШЛИНСКОЕ ЗЕМЛЕТРЯСЕНИЕ В НОЯБРЕ 1964 г.

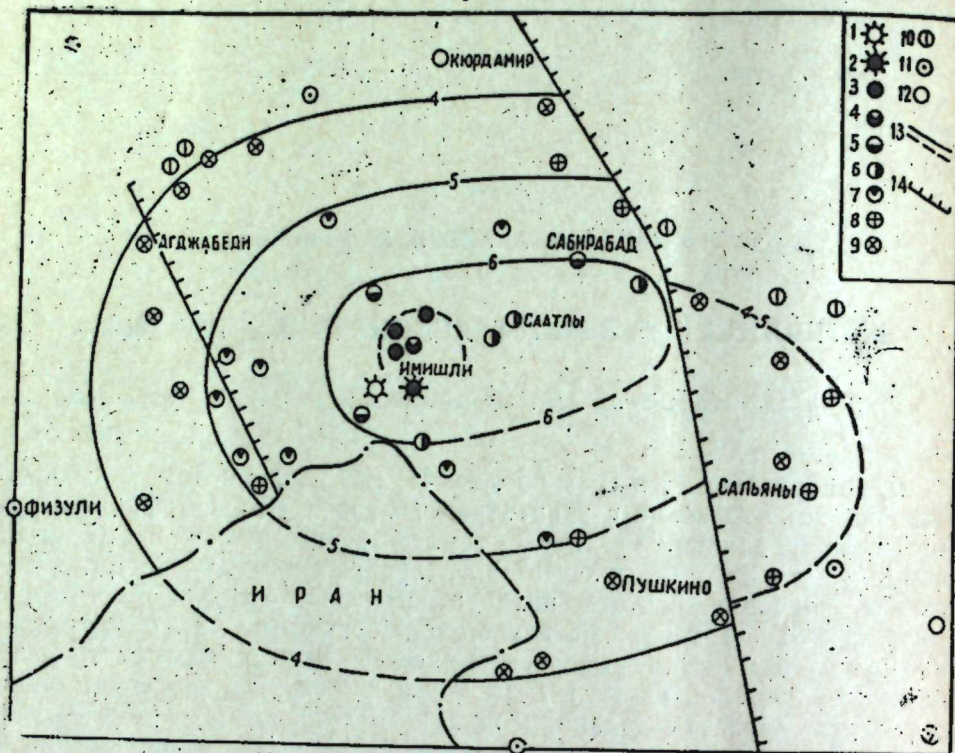
(Представлено академиком АН Азербайджанской ССР А. Д. Султановым)

09 ноября 1964 г. в 06 ч 05 мин 48 сек по Гринвичу произошло сильное землетрясение с эпицентром вблизи г. Имишли. По инструментальным данным магнитуда землетрясения $M=4^{3/4}$, координаты эпицентра $\varphi=39^{\circ} 8' N$, $\lambda=48^{\circ} 0' E$, глубина очага $h=25$ км. Абсолютное значение вектора полного смещения почвы в Кировабаде составило 97 μ (по горизонтальной составляющей 52 μ , по вертикальной—64 μ). На основе макросейсмических данных координаты эпицентра $\varphi=39^{\circ} 8' N$, $\lambda=48^{\circ} 1' E$ (в 12 км к западу от эпицентра, определенного инструментально) и по [1] глубина очага $h=30-40$ км, энергетический класс землетрясения $K=14$. Сила землетрясения в эпицентре около 7—8 баллов.

С наибольшей силой—7 баллов, землетрясение ощущалось в населенных пунктах Имишли, Алигуулар, Алпанахлы. В этих населенных пунктах сдвигалась легкая мебель (шифоньеры, кровати и др.), падала посуда, все выбегали из домов, трудно было передвигаться без опоры, опрокинулись сидящие на бревне. В большинстве зданий группы *B* легкие повреждения, в некоторых же группы *A* и *B*—значительные (сквозные трещины, откалывание кусков штукатурки, выпадение отдельных камней кладки стен и каменных оград). В других населенных пунктах землетрясение ощущалось следующим образом (рисунок).

Левый берег р. Аракса вблизи г. Имишли—6—7 баллов; Бир Май, Сабирабад, кочевка (в 20 км к северо-востоку от г. Имишли)—6 баллов; Саатлы, Гемушчу, Полтавка, Покровка—5—6 баллов; овцеводческий совхоз (в 25 км к западу от г. Пушкино), Караплар, стройплощадка (в 7 км к северо-востоку по каналу им. Орджоникидзе от Дашбуруна), Жданов, Эйвазлылар, Ашыглы, Отманова, Ахтакчи, Суворовка—5 баллов; Дашбурун, Арабкубала, Булдуг, Халадж (Имишлинского района), Новотроицкое, Сальяны, Дайкенд—4—5 баллов; Гашимханлы, Владимировка, Карабала, Нохудлу, Кюркарабуджаг, Гачагкенд, Пушкино, Кюрдмахмудлу, канал им. Орджоникидзе (близ с. Тазакенд), Шаумянкенд, Агджабеди, Мамедгасымлы, Зардоб,

Наджафкулибейли, Гюльмамедли, Караказымлы—4 балла; Али-Байрамлы, Кара Гюне, Маликли, правый берег р. Куры (в 3 км к югу от Маликли)—3—4 балла; Физули, Сагырлы, скотоводческий совхоз (в 8 км к юго-востоку от Юхары Шилян), Джанкин—3 балла; Кази Магомед, Алят, Нефтечала, Джебраил, Мартуни, Кюрдамир, Пршиб—не ощущали.



1—эпицентр по инструмент. данным; 2—по микроданным; 3—сила сотрясения 7 баллов; 4—6—7 баллов; 5—6 баллов; 6—5—6 баллов; 7—5 баллов; 8—4—5 баллов; 9—4 балла; 10—3—4 балла; 11—3 балла; 12—землетрясение не ощущалось; 13—иззейсты; 14—флексуры и глубинные разломы.

Известно, что характер проявления сейсмического эффекта в немалой степени (кроме как от механизма очага, глубины его, энергии в нем и т. д.) зависит и от особенностей геологического строения (текtonики, наличия разломов, литологии и т. д.) данной макросейсмически обследованной территории, охваченной сильным землетрясением [2]. Как видно из рисунка, Лагич-Кызылагачский глубинный разлом по своему простианию неодинаково экранировал энергию землетрясения 9, XI 1964 г. Это указывает, по-видимому, на различную глубину проникновения разлома (в северной части глубже, чем в южной).

ЛИТЕРАТУРА

- Медведев С. В. Инженерная сейсмология. Госстройиздат, 1962.
- Рагиев Ш. С. Изучение строения земной коры по макросейсмическим данным. ДАН Азерб. ССР, 1963, т. 19, № 11.

Ф. Т. Гулиев, В. Э. Элиев, К. Ш. Исламов

Ноябрь 1964-чу ил Имишли зэлзэлэси

ХУЛАСЭ

1964-чу ил ноябрь 9-да Гриневич вахты илэ saat 08. 05 дэгигээдэ Имишли районунда 7 бал күчүндэ зэлзэлэ баш вершишдир. Чиназларын вердији вэ зэлзэлэ районуун јохланмасындан албан мэ'луматлара эсасэн, еписентрин координаты: $\varphi=39^{\circ}8' N$, $\lambda=48^{\circ}$, $1 E$, $\varphi=43^{\circ}4'$, очагын дэриилийн: $h=30-40$ км вэ зэлзэлэний енержи классы $K=14$ олмушдур.

Мэгалэдэ мухтэлиф јашаыш мэнтэгэлэриндэ зэлзэлэний нечэ бал күчүндэ нисс едилмэсийнагында мэ'лумат верилмийшдир.

БОТАНИКА

Б. Г. ЗЕЈНАЛОВ

**МИНЕРАЛ КУБРЭЛЭРИН МУХТЭЛИФ НОРМА ВЭ
НИСБЭТЛЭРИНИН ПАЈЫЗЛЫГ БУГДА БИТКИСИНДЭ АЗОТ,
ФОСФОР ВЭ КАЛИУМУН ТОПЛАНМАСЫНА ТЭ'СИРИ**

(Азэрбајчан ССР Елмлэр Академијасынын академики Ч. М. Ыссејно,
тэдгим етмишдир)

Биткини мухтэлиф инкишаф фазаларындан асылы олараг гида маддэлэринин биткијэ дахил олмасы ejni дејилдир. О, ајры-ајры фазаларда артыб-азала биләр. Бүтүн сүнбуллү дэнли биткиләрин хакътер хүсусийэти ондан ибарәтдир ки, онлар азот, фосфор вэ калиумун чох һиссәсими инкишафыны илк дөврләриндэ мәнимсәјир.

С. Ф. Ыссејнов вэ И. М. Садыхов (1958) Азэрбајчанда тахыл биткиләринэ мэ'дэн күбрәләри верилмәси тэчрүбэсүнү вэ өз мүшәнидэләрини үмүмиләшдиရәрәк белә нэтичэје кәлмишләр ки, пајызлыг буғда биткисий колланма вэ бојубурахма фазаларында гида маддэлэрине даһа чох тәләбкар олур. Бу битки бириңчи инкишаф фазасында фосфор вэ калиум, илк јазда исэ азот гидасына ентијач һисс едир.

М. Е. Пронин (1955) өз тэчрүбәләрилә мүэjjәни етмишдир ки, буғда биткисиин колланма вэ борубурахма фазалары арасындакы дөврдэ эн чох азот топланыр. Һәмин дөврдэ буғда биткисий векетасија әрзиндэ истифадэ етдији азотун үмүм мигдарынын 60%-ни мәнимсәје билир. Судјетишмэ фазасында исэ азотун биткијэ дахил олмасы дајыр.

И. П. Сердоболски (1944) көстәрир ки, пајызлыг буғда биткисий векетасија дөврүндэ мәнимсәдији калиумун үмүм мигдарынын јарысыны пајызла гәбул едир, јазда һәмиц элементий галан һиссәси илә инкишафыны давам етдирир, чичәкләмэ фазасында исэ калиумун дахил олмасы максимума чатыр.

Башга тахыл биткиләринэ нисбэтэн буғда (ис-эр гајызлыг, истэр-сэ дэ јазлыг) гида маддэлэринэ даһа чох тәләбкардыр. Пајызлыг буғда учун азот, фосфор вэ калиумун мәнимсәнилмэ нисбэтэн тэхминең беләдир: 1:0,3:0,7 (Н. Н. Михајлов, 1958; З. М. Осипова, 1964; А. В. Морозова, 1965). Орта сәвијэдэ инкишаф етмиш пајызлыг буғданын һәр һектарындан йығыла 25–30 сент тохум вэ 50–60 сент күләш мәңсулунда 90–100 кг азот, 30–35 кг фосфор вэ 60–70 кг калиум олур. Қөрүндүү кими, пајызлыг буғда бигкиси фосфор вэ калиумун нисбэтэн азота даһа чох тәләбкардыр.

Пајызлыг буғда биткисий гидасынын эсас элементләри азот, фосфор вэ калиумун инкишаф фазаларындан асылы олараг, битки тэрэ-финдэн мәнимсәнилмәсни Азэрбајчан ССР, хүсусилә Нахчыван МССР шәраитиндэ өјрәнилмәмишдир. Гида элементләринин пајызлыг буғда биткисиин бојука, инкишафына вэ мәңсулдарлыгына мүсбәт тэ'сири ни нэзәрә алара, мүхтәлиф норма вэ нисбэтләрдэ тэтбиg олунан гида элементләринийн мигдарына тэ'сирини өјрәнилмәсни лазым билдик.

Тэлгигитлар Нахчыван районунун "Менди Ыссејназадэ" совхозунун боз вэ Илич ғајону "Киров" кохозунун боз-чәмән торпагларында апарылышыр. Тэчрүбә гојулмаздан әvvәл көтүрүлән торпаг нүмүнәләринин агрокимјәви тәһлили көстәрик ки, боз торпаг азот вэ фосфорла зәиф; җалиумла йүксәк, боз-чәмән торпаг исэ азотла зәиф, фосфорла орта, калиумла йүксәк тэ'мин олуумушдур.

Тэчрүбә саһәләринэ азот аммониум-нитрат, фосфор али суперфосфат, калиум исэ калиум-хлор формасында верилмешдир. Азотун үмүм мигдарынын 20%-и сепиндэн табаг, 50%-и еркән јазда колланма фазасында, 30%-и исэ борулешма фазасында јемләмә кими верилмешдир. Фосфор вэ калиумун 60%-и эсас шум алтына, 40%-и колланма фазасында јемләмә шәклиндэ верилмешдир. Анализ учун нүмүнәләр сүткенин эсас инкишаф фазаларында: колланма, борубурахма, сүнбулләнмә вэ тамјетишмә фазаларында көтүрүлмушдур. Биткидэ азот, фосфор, калиумун мигдары Е. Е. Кинзбург вэ Г. М. Шеглова үсулу илә тэ'чин едилмешдир.

Тәһлилләрин нэтичәси көстәрик ки, күбрәнин верилиб-верилмәмәснән асылы олмаараг азот, фосфор вэ калиумун биткини гуру чәкисинэ көрә фаязлә мигдары эн чох биткини колланма фазасында олуб, векетесијанын сонуна дөгүр азалмага башламышдыр.

Тэтбиg олунан күбрәләрин норма вэ нисбэтләриндэн асылы олараг биткидэ тспланан азот, фосфор вэ калиумун мигдары дәжишилдир. Мәсәлән, $N_{60}P_{40}K_{10}$ күбрәси верилдикдэ контрола нисбэтэн азотун мигдары колланма фазасында боз торпагда 0,63, боз-чәмән торпагда исэ 0,47% артыг олмушдур. Фосфор-калиум нормасыны ejni илә сахлајараг 60 кг азот верилдикдэ 1,48–1,15%, азот нормасы 90 кг-а чатырылдыгда исэ 2,17–2,10% артыг азот топланышдыр.

Азот-калиум фонунда фосфор нормасынын артырылмасы да биткидэ фосфорун мигдарына үсбәт тэ'сир етмишдир. Белә ки, һектара $N_{60}P_{40}K_{10}$ кг күрә верилдикдэ фонда нисбэтэн биткидэ фосфорун мигдары колланма фазасында боз торпагда 0,19, боз-чәмән торпагда 0,17% артышдырса, 60 кг фосфор верилдикдэ 0,24–0,29%, норма 90 кг-а чатырьлыйда исэ 0,40–0,48% артыг фосфор тспланышдыр.

Фазалар үрә көтүрүлмүш битки нүмүнәләринин тәркибиндэ азот вэ фосфоруна җанаңы, калиумун да мигдары тэ'чин едилмешдир. Мәлум олмушдур ки, азот-фосфор фасунда калиум исрәмләрүн артырылмасы биткидэ калиумун мигдарына мүсбәт тэ'сир едир. Мәсәлән, һектара тэ'сирдичи маддә һесабы илә $N_{60}P_{40}K_{10}$ кг күрә верилдикдэ, күбрәсизэ нисбэтэн, биткидэ калиумун мигдары колланма фазасында боз торпагда 0,10, боз-чәмән торпагда исэ 0,09% артыг олмушдурса, һәр үч күорәдэн тэ'сирдичи маддә һесабы илә 60 кг верилдикдэ биткидэ артыг тспланан калиумун мигдары 0,63–0,66%-э чатышдыр. Тэчрүбәләрин нэтичәси көстәрик ки, минерал күбрәләрин нормасынын артырылмасы биткидэ азот, фосфор вэ калиумун мигдарыны йүксәлдир.

Беләликлә, пајызлыг буғда биткисийнэ гида элементләринин топланмасы кедишинин тэдгиги һәмин биткини векетасија дөврүндэ гида

Чөдвэл

Минерал күбрэлэрийн цајызлыг бугда биткисиндэ фазалар үзэрэ гида элементлэриний топланмасына тэсир

Тэчрубэний схеми	Биткиний гуру чэксинде, %-дэ											
	N				P ₂ O ₅				K ₂ O			
	коллама	борубурхма	там ятишкэн-ник	дэн	коллама	борубурхма	там ятишкэн-ник	дэн	коллама	борубурхма	там ятишкэн-ник	дэн
Боз торлаг												
Күбрэсиз	3,20	2,12	1,61	0,33	1,90	0,50	0,42	0,39	0,12	0,62	1,93	1,17
P ₆₀ K ₄₀	3,26	2,73	1,60	0,32	1,87	0,83	0,78	0,63	0,13	0,63	2,63	1,61
N ₆₀ P ₆₀	4,37	2,98	2,02	1,33	2,15	0,75	0,68	0,55	0,17	0,67	1,85	0,88
N ₆₀ K ₄₀	5,11	3,46	2,42	0,39	2,63	0,49	0,33	0,29	0,11	0,53	2,31	1,39
N ₄₀ P ₆₀ K ₄₀	3,83	2,64	1,58	0,32	1,88	0,76	0,63	0,56	0,17	0,67	2,04	1,21
N ₆₀ P ₄₀ K ₄₀	4,67	3,03	2,16	0,37	2,33	0,63	0,56	0,46	0,13	0,64	2,14	1,28
N ₆₀ P ₄₀ K ₄₀	4,68	3,07	2,19	0,37	2,39	0,73	0,62	0,53	0,15	0,66	2,03	1,24
N ₆₀ P ₆₀ K ₆₀	4,06	2,76	1,73	0,34	2,03	0,54	0,45	0,40	0,12	0,61	2,61	1,53
N ₆₀ P ₆₀ K ₆₀	5,37	3,62	2,52	0,49	2,83	0,72	0,61	0,54	0,15	0,66	1,97	0,93
N ₆₀ P ₉₀ K ₄₀	4,18	2,93	1,89	0,36	2,05	0,89	0,79	0,63	0,19	0,71	1,85	0,93
N ₆₀ P ₉₀ K ₆₀	4,99	3,38	2,33	0,39	2,62	0,86	0,74	0,57	0,16	0,63	2,16	1,28
Боз-чэмэн торлаг												
Күбрэсиз	3,38	2,27	1,75	0,35	1,96	0,58	0,50	0,42	0,13	0,65	1,88	1,10
P ₆₀ K ₁₀	3,37	2,84	1,70	0,34	1,92	0,96	0,86	0,69	0,20	0,73	2,32	1,30
N ₆₀ P ₆₀	4,28	2,96	1,95	0,37	2,12	0,64	0,75	0,61	0,19	0,70	0,78	0,81
N ₆₀ K ₄₀	4,76	3,21	2,24	0,38	2,48	0,51	0,43	0,39	0,12	0,62	2,03	1,26
N ₄₀ P ₆₀ K ₄₀	3,85	2,64	1,54	0,33	1,88	0,88	0,79	0,64	0,19	0,72	1,95	0,98
N ₆₀ P ₄₀ K ₄₀	4,64	3,07	2,17	0,37	2,38	0,68	0,58	0,47	0,13	0,65	2,02	1,19
N ₆₀ P ₄₀ K ₄₀	4,53	3,04	2,11	0,36	2,32	0,80	0,71	0,56	0,16	0,63	1,07	1,18
N ₆₀ P ₆₀ K ₆₀	4,15	2,87	1,85	0,35	2,05	0,69	0,60	0,49	0,14	0,65	2,54	1,45
N ₆₀ P ₆₀ K ₆₀	5,48	3,74	2,63	0,40	2,92	0,83	0,73	0,58	0,16	0,68	1,90	0,94
N ₆₀ P ₉₀ K ₄₀	4,11	2,81	1,78	0,35	2,02	0,99	0,88	0,73	0,22	0,74	1,85	0,88
N ₆₀ P ₉₀ K ₆₀	4,87	3,28	2,31	0,40	2,53	0,87	0,76	0,59	0,19	0,70	2,24	1,21

маддэлэрилэ вахтында тэмин итмэк имкани верир. Апарылмыш тэдгигатлардан ашағыдакы нэтичэлэри чыхармаг олар:

1. Минерал күбрэлэр биткиж дахил олан азот, фосфор вэ калиум мигдарыны артырыр.
2. Битки азот, фосфор вэ калиуму инкишафынын илк фазасында даха интенсив мэнимсэжир.
3. Үэр ики торлаг типиндэ тэтбиг олунан күбрэлэрийн норма вэ нисбэтлэри ичэрисиндэ N₆₀P₆₀K₄₀ нормасы биткидэ азотун топланмасына хүсүсилэ мусбэт тэсир көстэрмишдир.

ЭДЭБИЙЛЭТ

1. С. Ф. Гусейнов и И. М. Садыхов. Озимая пшеница в Азербайджанской ССР и ее биологические особенности. Журн. Ученые записки Аз. гос. университета им. Кирова, № 4, Баку, Изд. АГУ, 1958. 2. И. Н. Михайлов. Подкормка озимых—важный агротехнический прием. Журн. Удобрение и урожай. № 3, 1958. 3. А. В. Морозова. Вынос азота, фосфора и калия урожаями сельскохозяйственных культур. Агрохимия; № 2, 1965. 4. О. М. Осипова. Вынос азота, фосфора и калия урожаями зерновых культур в многолетних полевых опытах с удобрениями на дерново-средне-

подзолистой тяжелосуглинистой почве. Агрохимия; № 8, 1964. 5. М. Е. Пронин. Влияние удобрений на урожай чеснок мягкой пшеницы и структуры на вышелоченном черноземе. Воронежский сельскохозяйственный институт. Сборник "Научные работы", 1955. 6. И. П. Сердобольский. Калий. АН СССР, М., 1944.

Торлагшүнаслыг вэ
агрокимја институту

Алымышдыр 26. XII 1966

В. Г. Зейналов

Влияние различных доз и соотношений минеральных удобрений на накопление азота, фосфора и калия озимой пшеницы

РЕЗЮМЕ

Полевые опыты были заложены на сероземной почве в совхозе им. Мехти Гусейнзаде Нахичеванского района и сероземно-луговой почве в колхозе им. Кирова Ильичевского района Нахичеванской АССР.

В сероземных почвах содержание азота и фосфора слабое, а содержание калия высоко. В сероземно-луговых почвах содержание азота слабое, фосфора—среднее, калия—высокое. Анализы растительных проб были взяты по фазам: в фазе кущения, трубкования, колосования и полной спелости. В этих образцах определяли валовые азот, фосфор и калий по методу К. Е. Гинзбурга и Г. М. Щегловой. Проведенные растительные анализы показали, что в основном высокое содержание валового азота, фосфора и калия наблюдается в фазе кущения, а в последующие фазы постепенно снижается.

Внесенные минеральные удобрения соответственно увеличивают содержание валового азота, фосфора и калия в растениях озимой пшеницы.

В обоих типах почв наиболее высокое содержание азота отмечено при внесении N₆₀P₆₀K₄₀.

Ш. И. МИРЗӘЈЕВ

НӘКӘРӘЧАЙ НӨВЗӘСИННИН ЙУХАРЫ ҺИССӘСИНДӘКИ
ДАФ-МЕШЭ ТОРПАГЛАРЫНЫН РҮТУБӘТ РЕЖИМИ

(Азәрбајҹан ССР Елмләр Академијасынын академики
Н. Ә. Элијев тәгдим етмишидир)

Рүтубәtin ејрәнилмәси даг-мешэ торпагларынын кенезисини даһа өтрафлы тәдгиг өтмәјә вә мешәләрин инкишаф етдирилмәси имканыны мүәјјәнләшdirмәјә имкан верир. Лакин ССРИ-дә, еләчә дә Азәрбајҹанда даг-мешэ торпагларында рүтубәт режимиини ејрәнилмәси нәләлик кифајәтләндирчи дејилдир. Нәмин саһәдә Загатала Дөвләт горуғундакы (Б. А. Чәфәров, 1962) вә Шамахы рајонунун Пиргулу массивиндәки (Х. Н. Һәсәнов, 1965) даг-мешэ торпагларында рүтубәт режимиини ејрәнилмәси мүстәсна олмагла, республикамызын даг-мешэ торпагларында бу просес ејрәнилмәмишидир.

Буна көрә дә биз Нәкәрәчай нөвзәсинин йухары һиссәсендә яйымыш даг-мешэ торпагларында бир сыра просесләрлә јанаши, рүтубәт режимиини дә ејрәндик¹. Бу мәгсәд үчүн Шәлвәчајын (пәкәрәчајын голу) сағ саһили бою яйымыш мешәләрдә 4 нүмүнә мејданчасы сечилмишидир. Бүтүн нүмүнә мејданчаларында торпаг рүтубәти 1965—1966-чы илләрдә торпағын 1 м гагында 6 тәкрапла, чәки үсулу илә ејрәнилмишидир.

Нәмин әразидә торпагларын рүтубәт режимиине атмосфер յағынтылары, һава шәранти, мешэ типләри, мешэ дөшәмәси, торпагларынын физики-кимҗәви хүсусијәтләри вә с. тә'сир едир.

Нәр ики илин векетасија дөвләрләндә даг-мешэ торпагларында рүтубәtin топланмасына эввәлки пајыз вә гыш мөвсүмләрини атмосфер յағынтылары әсаслы тә'сир көстәрмишидир. Белә ки, 1964-чү илин пајызында 29,5 мм, 1958-чү илин јазында 163,7 мм յағынтынын дүшмәси нәтижәсендә биранчи тәдгигат илинни јаз вә я] ајларында торпагларда кифајәт гәдәр рүтубәт мушаһидә ёдилмишидир. Ейни заманда, յағынтылар гонур вә гәһвәји даг-мешэ торпагларында рүтубәtin мүхәтәлифлигине дә сәбәб олмушдур. Гонур торпаглар (I-II нүмүнә мејданчасы) 1800—2000 м мүтләг јүксәкликтә чох յығынтылы саһәдә, гәһвәји торпаглар исә (III—IV нүмүнә мејданчасы) 1400—1500 м мүтләг јүксәкликтә јерләшиңдән гонур торпаглар даһа чох рүтубәтләнмишидир.

¹ Тәдгигат ишләри акад. Н. Ә. Элијевин рәhbәрлији илә апарылмышидир.

Өјрәнилән рүтубәт категоријалары һәмин торпагларын механики тәркиби вә һумусун мигдары илә дә әлагәдар олуб, торпаг типләри вә профил боју хејли дәжишилир. Үмуми, мәнимсәнилән вә мәнимсәнилән рүтубәтин мигдары ағыр механики тәркибли торпагларда (I—II нүмүнә мејданчалары) јүнкүл механики тәркибли (IV нүмүнә мејданчасы) торпаглара нисбәтән артыгдыры (1—2-чи чәдвәлләр).

1-ЧИ ЧӘДВӘЛ

Даг-мешэ торпагларында мәнимсәнилән вә мәнимсәнилән рүтубәт

Сыра №-си	Нүмүнә мејданчаларынын тәсвири	Дөңгөләр, см	Максимал нигроскопик ишекли	Пылтыхнан ишекли	Мәнимсәнилән рүтубәт (2 илдә)	
					Минимум	максимум
I	Палыц мешәсинин гонур даг-мешэ торпаглары; Шәлвә кәйдинан 2,5—2,7 км шимал гәрб һиссәсендә 2000 м һүндүрлүкдә, 3—5° маиллији олан шимал јамач	2—10	16,80	21,84	-3,17	37,01
		10—20	14,14	18,38	-0,82	13,45
		20—30	13,00	16,90	-3,57	13,8
		30—40	13,10	17,03	-0,22	11,42
		40—50	13,10	17,09	-4,41	12,49
		50—60	13,15	17,09	-3,47	13,05
		60—80	13,20	17,16	-6,88	10,80
II	Вәләс мешәси алтында инкишаф етмиш гонур даг-мешэ торпаглары; Шәлвә кәйдиндин 1—1,2 км шимал гәрбдә 1900 м һүндүрлүкдә, 15—18° маиллији олан шимал јамач	2—10	14,43	18,76	4,50	24,86
		10—20	11,64	15,13	3,15	18,44
		20—30	11,65	15,14	2,23	13,14
		30—40	11,67	15,17	2,94	9,94
		40—50	10,35	13,45	2,82	11,91
		50—60	9,04	11,75	6,57	13,52
		60—80	12,15	15,79	0,22	10,49
III	Вәләс мешәси алтында инкишаф етмиш гәһвәји даг-мешэ торпаглары; Бүләвлүк кәйдиндин 0,8—1 км чәнуб-гәрбдә, 1500 м һүндүрлүкдә, 20—25° маиллији олан шимал-шәрг јамач	2—10	16,53	21,49	2,42	23,52
		10—20	13,00	17,68	6,82	17,06
		20—30	13,00	16,90	2,8	15,75
		30—40	14,62	19,01	1,85	13,86
		40—50	14,70	19,11	-0,20	9,57
		50—60	14,70	19,11	-1,00	10,52
		60—80	13,90	18,07	-2,75	10,64
IV	Палыц мешәси алтында инкишаф етмиш гәһвәји даг-мешэ торпаглары; Бүләвлүк кәйдиндин 1,3 км чәнуб-гәрбдә, 1400 м һүндүрлүкдә, 16—18° маиллији олан шәрг јамач	2—10	8,39	10,91	5,17	22,65
		10—20	7,23	9,44	-0,41	12,26
		20—30	6,83	8,85	0,49	9,39
		30—40	6,40	8,32	1,32	4,68
		40—50	5,85	7,01	-0,51	6,23
		50—60	3,81	4,85	0,84	6,20
		60—80	3,31	4,30	0,20	7,90
		80—100	3,05	3,95	0,00	6,53

Бир гајда олараг, максимум рүтубәт торпагларын чох һумуслу үст гатларында топланыр вә алт гатлара доғру кетдиңкә азалыр. Гатлар үзәрә рүтубәт фәрги палыц мешәси алтында әмәлә, кәлмиш гәһвәји дағ-мешэ торпагларында даһа кәскин нәзәрә чәрпүр ки, бу да механики тәркибин кәскин дәжишмәси илә әлагәдардыр.

Максимал һигроскопик рүтубәт вә онун әсасында мүәјјәнләшdirилән (эмсал 1,3 көтүрүлмүшдүр) мәнимсәнилән рүтубәт мүвағиғ олараг гонур дағ-мешэ торпагларында 9—16,8 вә 11,75—21,8%, гәһвәји олараг гонур дағ-мешэ торпагларында исә 3—16,5 вә 3,9—21,5% олмушдур. Үмуми дағ-мешэ торпагларында исә 3—16,5 вә 3,9—21,5% олмушдур. Үмуми

Даг-мешэ торпагларында рүтубэтин динамикасы, %-ла

Нумуу ларынын медицини чийгээ	Дериний жиний стадий	Механик терхий	Гумус %-дэй	1965-чи ил				1966-чы ил			
				25. V		20. VII		25. X		26. XII	
I	0-2	—	—	66,13	64,4	58,38	76,79	16,51	19,43	43,45	27,66
	2-10	59,0	—	34,24	48,79	18,67	51,05	7,17	26,26	45,46	58,85
	10-20	67,3	5,7	28,38	31,83	17,56	27,52	33,7	19,81	26,41	31,77
	20-30	68,3	5,6	25,77	28,35	13,33	24,39	30,7	19,67	25,23	28,14
	30-40	65,0	2,9	25,19	25,49	16,81	22,92	24,83	19,51	24,26	28,45
	40-50	65,0	2,9	25,14	24,44	12,62	21,64	25,79	20,7	24,65	29,52
	50-60	66,1	2,9	24,23	24,89	13,62	24,28	25,63	20,33	25,86	30,14
	60-80	67,9	2,8	24,48	22,73	10,28	22,98	24,13	20,97	24,38	27,96
	80-100	66,9	2,2	24,81	25,48	9,67	16,40	25,18	19,67	24,39	24,88
II	0-2	—	—	131,87	121,64	50,77	90,32	9,26	13,88	34,4	16,17
	2-10	62,9	13,1	42,43	31,09	23,26	30,60	25,89	24,28	38,88	43,62
	10-20	62,9	11,0	28,24	27,55	18,29	24,61	28,94	20,7	31,00	33,57
	20-30	62,8	3,4	26,61	24,08	17,37	24,17	23,84	18,16	24,87	28,28
	30-40	62,8	3,0	24,81	24,15	18,22	21,71	22,63	18,11	23,19	25,11
	40-50	66,9	2,2	22,07	25,36	16,27	21,68	19,76	19,31	21,56	21,67
	50-60	66,9	2,2	22,11	25,27	18,43	18,32	19,57	18,6	21,19	21,37
	60-80	66,9	1,7	22,84	26,28	18,12	18,49	16,01	19,34	17,12	18,18
	80-100	66,9	1,2	21,91	21,40	15,02	15,65	20,22	18,99	14,38	15,55
III	0-2	—	—	84,60	51,18	41,85	64,10	7,24	11,95	18,61	18,31
	2-10	67,2	14,6	31,48	—	23,91	38,59	42,38	27,5	37,42	45,01
	10-20	67,2	7,2	25,27	—	24,5	27,28	27,71	24,81	28,32	34,74
	20-30	66,4	3,3	23,91	28,34	23,67	25,60	22,01	19,88	27,91	32,65
	30-40	66,4	2,8	23,49	26,16	22,75	25,32	21,22	20,86	26,35	32,87
	40-50	6,4	2,7	25,88	26,01	18,91	24,26	23,28	19,13	25,78	28,68
	50-60	66,4	2,7	21,39	24,74	19,20	20,46	22,57	18,11	24,20	29,63
	60-80	54,8	1,9	22,04	22,22	15,32	22,31	24,65	18,35	21,14	28,71
	80-100	58,8	1,8	22,69	20,35	17,01	20,07	26,6	19,17	16,68	28,75
IV	0-2	—	—	73,72	69,7	39,68	86,61	9,52	12,65	70,00	14,59
	2-10	27,0	7,9	24,19	33,56	19,22	30,47	27,5	16,08	27,87	29,23
	10-20	24,0	6,8	14,64	10,36	9,08	17,14	15,77	9,83	18,08	22,7
	20-30	15,08	4,7	12,01	12,85	9,31	13,8	13,95	7,62	15,68	17,24
	30-40	12,8	2,2	11,15	11,28	10,16	9,64	12,75	7,54	12,31	13,00
	40-50	12,8	1,2	7,1	8,74	8,24	9,49	11,68	8,64	13,84	7,41
	50-60	12,8	1,1	6,76	6,74	8,58	5,69	9,39	6,59	11,05	6,73
	60-80	2,9	0,4	6,73	5,51	9,23	4,50	6,74	5,32	7,89	12,20
	80-100	гум.	—	6,45	5,01	8,81	4,30	5,65	3,95	8,99	10,48

Вэ мэнимсэнилэн рүтубэт исэ динамики олуб, иллэр вэ мөвсүмлэр үзрэ кэскин дэжишилир. Онларын максимум мигдары нэр ики илин мај вэ декабр аяларында мушаидэ едилмишдир.

Векетасија дэврүүн сонларындаки яғынтылар несабына, јенидэн рүтубэтлэнэн бэ'зи үст гатлар мүстэсна олмагла, октјабра гэдэр транспирасија вэ бухарланма иэтчэсниндэ нэмийн рүтубэт энэмиijэтли дэрчэдэ сэрф олунмушдур. Лакин бундан сонра дүшэн яғынтылар торпагы јенидэн рүтубэтлэндирмишдир.

Торпагларын рүтубэтлэнмэ дэврү 1966-чи илдэ 1965-чи илдэкин дэн тез ба шламышдыр ки, бу да нава шэрэити илэ элагэдардыр. 1966-чи илдэ ијул аял мүстэсналыг тэшкийт етмэклэ, торпагларда рүтубэтн мигдары өввэлки илдэн хејли артыг олмушдур.

Икииллик мэ'лумат өссында мүэjjэн едилмишдир ки, мэнимсэнилэн рүтубэтин максимум мигдары (пајыз вэ гыш аяларында) палыд мешэс алтында инкишаф етмиш гонур даг-мешэ торпагларында 8,2—37,0, вэлэс мешэс алтында инкишаф етмиш гонур даг-мешэ торпагларында 7—24,9% олдугу налда, гэхвэji даг-мешэ торпагларында палыд мешэс алтында 6,5—22,6 вэлэс мешэс алтында исэ 9,2—23,5% олур. Яа вэ пајызын өввэллэринэ гэдэр торпаглардаки мэнимсэнилэн рүтубэтин чох һиссэс сэрф едилмишдир. Нэтичэдэ исэ рүтубэт сэрфи бэ'зи нүүнэ мејданчаларында мэнимсэнилмэjэн рүтубэт несабына (јэгин ки, бухарланма) сэрф олунмушдур.

Минимум рүтубэтлэнмэ дэврүндэ гонур торпагларда мэнимсэнилэн рүтубэтин мигдары вэлэс мешэс алтында 0,2—6% олдугу налда, палыд мешэс алтында 0,2—6,9% мэнимсэнилмэjэн рүтубэт несабына сэрф едилмишдир. Гэхвэji мешэ торпагларында исэ бэ'зи гатларда мэнимсэнилэн рүтубэт 0,2—6,8% сахландыг налда, бир сыра гатларда максимал һигроскопик рүтубэтин несабына 0,2—2,8% рүтубэт сэрф едилмишдир.

Тэдгиг олунан өразидэ рүтубэтин бу чур минимума енмэс чох аз мүлдэйтдэ давам етдиинидэн мешэчилийн инкишафына чидди тэ'сир көстэришдир.

Гонур даг-мешэ торпагларында рүтубэтин мигдары гэхвэji даг-мешэ торпагларына нисбэтэн чохдур ки, бу да нэмийн торпаглар үчүн сэчийжэви хүсүсийжэтдир. Тэдгигатлар заманы векетасија дэврлэриндэ гонур даг-мешэ торпагларына нисбэтэн гэхвэji торпаглардан даха чох рүтубэт сэрф олунмушдур.

Үмумијжтэлэ, тэдгиг олунан өразидэ гонур вэ гэхвэji торпаглар айры-айры рүтубэт категоријалары илэ тэ'минолунма дэрэчэснэ көрэ мүхтэлиф олса да, мешэлэрийн инкишафы үчүн элвершили шэрэйт јарадыр.

ЭДЭБИЙЛЭТ

- Х. Н. Йесенов. Даг-мешэ торпагларында умуми, мэнимсэнилмэjэн рүтубэт наргында. Азэрбайчан ССР ЕА Мэ'рэзэлэр, 1965, № 11.
- Б. А. Чэфэроп. Мухталиф юксэклидэ јајлымыш фистыг мешэлэрийн тээлэг рүтубэтлийн динамикасына тэ'сир. Азэрбайчан ССР ЕА Хэбэрэлэр, био.окија вэ тибб ёмлэри серијасы, 1962, № 3.

Алынмышдыр 28. V 1966

Торпагшунаслыг
вэ агрокимја институту

Ш. И. Мирзоев

О динамике влажности горно-лесных почв в верховьях р. Акары

РЕЗЮМЕ

Результаты исследований, проведенных на северном склоне право-бережья р. Шалвы (на высоте 1400—2000 м), показывают, что бурые горно-лесные почвы больше увлажнены, чем коричневые горно-лесные почвы.

Изменение режима влажности почв тесно связано с гумусностью и мехсоставом почвы, типом лесов, характером местности и количеством атмосферных осадков.

Содержание максимальной гигроскопической и неусвоимой влаги в бурых почвах составляет соответственно 9,0—16,8 и 11,75—21,8%, а в коричневых горно-лесных почвах—3,0—16,5 и 3,9—21,5%.

Результаты двухгодичных данных показывают, что максимальные количества усвоемой влаги в бурых горно-лесных почвах под дубовым лесом составляют 8,2—37,0%, под грабовым лесом — 7—24,9%, а в коричневых горно-лесных почвах под дубовым лесом — 6,5—22,6%, под грабовым — 9,2—23,5%.

Бурые и коричневые горно-лесные почвы 1966 г. увлажнялись больше, чем за прошедший год, что связано с погодными условиями в отдельные годы исследований.

Следовательно, в зоне бурых и коричневых горно-лесных почв режим влажности создает благоприятные условия для нормального развития лесов.

Н. Я. ГРОЗДОВА

ГЕРМАФРОДИТНОЦВЕТКОВЫЙ ПЛОД ОГУРЦА

(Представлено академиком АН Азербайджанской ССР И. Д. Мустафаевым)

В теплицах пригородного специализированного совхоза г. Баку, где выращивались огурцы, было отмечено появление плодов по форме не типичных для сорта Клинский.

Много лет назад семена были приобретены в Москве. Сорт, в течение многих лет сохранялся в совхозе, не подвергался перекрестному опылению и улучшался путем отбора плодов типичных для данного сорта.

Как известно, тепличный способ огурцов — Клинский имеет два подвида с белыми и черными шипиками, последний подвид считается более ценным по вкусовым качествам, он и выращивался многие годы в хозяйстве.

Огурцы представляют собой растения однодомного типа с раздельнополыми мужскими и женскими цветками.

У растений огурцов в пазухах листьев как на главном, так и на боковых стеблях образуются одиночные или группы цветков мужских или женских. Преобладание той или иной группы в значительной мере зависит от условий питания.

На рисунке представлен плод, развившийся в пазухе одного из листьев, где все другие цветки были мужские.

Снимок плода дается с фронтальной и тыльной сторон в натуральную величину. Как ясно видно, данный плод резко отличен от нормального плода огурца. У описываемого плода значительно удлиненная плодоножка, венчик не отпал, а создает своеобразный вид „оборочки“. Перетяжка плода посередине придает ему вид „кубышки“, окраска белесая, переходящая в желтоватую. Форма верхушки плода гладкая, округлая, шипики исчезли. При разрезе у таких плодов семена отсутствуют, а середина плода уплотненно-слизистая.

Появление таких плодов не часто, однако несколько плодов в одной теплице за сезон удавалось обнаружить. Это явление и раньше привлекало внимание исследователей.

Н. И. Захаревич [1] отмечает, что на растениях нередко появляются обоеполые цветки мужского или женского типа. Из обоеполого цветка женского типа (имеющего завязь) вырастает укороченный ша-

ровидный плод с гладкой блестящей поверхностью. Автор, приводя описание плода, не раскрывает причину его образования.

Японские исследователи Сайто Такаси и Ито Хидэо [2] считают, что в растениях огурцов имеется цветообразующее вещество. В низких концентрациях оно вызывает образование мужских цветков, а в более высоких, обоеполых, при еще большей концентрации — женских.

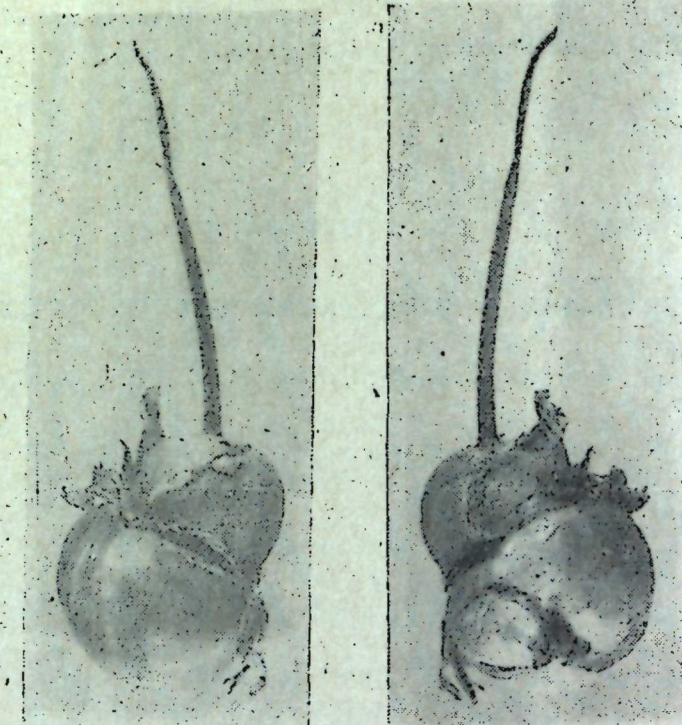


Рис.

Э. Т. Мещеров [3] ищет ответ в появлении аномальных плодов (свет, условия питания) во внешних факторах. Автор приводит следующее описание плода: "из этих обоеполых цветков образуются шаровидные плоды с так называемой „чалмой“ и перетяжкой в верхней части".

Другой исследователь (А. В. Филов [4]) приводит описание плодов, во многом совпадающее с нашим: "зеленцы мелкие, шаровидные или эллипсоидные, короткие, пятнистые, кремовой или светло-зеленой окраски, без бугорков". Автор при классификации огурцов выделяет подвид "гермафродитноцветковый".

С нашей точки зрения, единичные плоды, появляющиеся на нормально развитом растении, выделять в отдельный подвид нельзя.

В связи с тем, что исследования в теплицах ведутся нами по вопросу минерального питания и этому фактору уделялось главное внимание, данные условия не могли играть направляющей роли в формировании формы плода при том, что плоды в других пазухах листа и форма куста в целом были нормальными.

В известной нам литературе мы не могли найти исчерпывающего ответа на обнаруженное явление и дополняли ранее известное данными о аномальном местоположении плода в группе мужских цветков (возможно с деформированной семяпочкой). Возникает мысль о

нарушении дифференциации пазушной ткани листа, из которой в дальнейшем формируются обычно однополые цветы.

У растений огурцов, чаще чем у других, имеет место образование цветков и плодов в нетипичных для них местах.

Нами не найден убедительный ответ на обнаруженное явление, однако считаем, что наши сведения пополняют литературу по данному вопросу, почему целесообразно ознакомить исследователей с указанным явлением в поисках ответа на его правильное решение.

ЛИТЕРАТУРА

1. Захарович Н. И. Биология овощных культур. Учпедгиз, 1954.
2. Сайто Такаси, Ито Хидэо. Факторы, определяющие сексуализацию японского огурца. Реф. журн. "Сводный". 1962, № 12, 12, 1. 100.
3. Мещеров Э. Т. Об изменении соотношения мужских, женских и обоеполых цветков у огурцов. "Вест. сельскохоз. науки", 1961, № 4, стр. 74.
4. Филов А. И. Огурцы мира с точки зрения использования их в СССР. Бюллетень № 10, НИИИПВОХ, г. Сталинабад, 1948.

Институт почвоведения и агрохимии

Поступило 14. XI 1966

БИОХИМИЯ

Г. М. ТАЛЫШИНСКИЙ, М. Г. ИСАЕВ

ДИНАМИКА НАКОПЛЕНИЯ САХАРА, ПРОТЕИНА И КЛЕТЧАТКИ
В ЛИСТЬЯХ СОРТОВОЙ ШЕЛКОВИЦЫ, В ЛЕТНЕ-ОСЕННЕМ
СЕЗОНЕ

(Представлено академиком А. Н. Азербайджанской ССР И. К. Абдуллаевым)

Изучение биохимического состава шелковицы для выкормки гусениц тутового шелкопряда является одним из важных показателей при определении кормового достоинства листа шелковицы, который позволяет более рационально использовать листья различных сортов шелковицы для получения высокого качества шелка-сырца и увеличивает его выход.

Летне-осенний сезон выкормки шелкопряда проводится в более сложных условиях по сравнению с весенним. Во-первых, в это время затрудняется подбор соответствующего качества корма для шелкопряда, так как пластина листа грубеет, следовательно, качество листа снижается. Во-вторых, этот период совпадает с самым жарким временем года. Поэтому необходимо в этом сезоне соблюдать строгий режим проведения выкормок.

Цель настоящего исследования — изучение содержания основных веществ, которые имеют первостепенное значение в жизнедеятельности гусениц тутового шелкопряда.

Это изучение приобретает первостепенное значение еще потому, что листья шелковицы являются единственным продуктом гусениц тутового шелкопряда.

Известно, что углеводы быстро и легко усваиваются организмом гусениц шелкопряда в процессе обмена веществ. Они играют решающую роль в синтезе азотистых веществ. Белковые соединения же необходимы не только для обменных процессов в организме гусениц, но являются основным структурным материалом шелковины.

Клетчатка с физиологической точки зрения не усваивается организмом насекомых и поэтому не имеет для него питательной ценности. Она способствует усвоению организмом шелкопряда других питательных веществ, улучшает выделение экскрементов, в связи с чем у гусениц старших возрастов потребность в клетчатке возрастает.

Опыты проводились в листьях перспективных сортов шелковицы в условиях Карабахской научно-экспериментальной базы (КНЭБ) во-

время летне-осеннего сезона вскармливания гусениц тутового шелкопряда 1964 г.

Объектами исследований были листья шелковицы следующих сортов: Сыхгез-тут, Азери-тут, Адреули и Кокусо-70.

Японский сорт Кокусо-70 является межвидовым гибридом между *M. multicaudis* × *M. bombycis*.

Адреули является грузинским селекционным сортом и относится к виду *M. Kagajamae* Ko idz. Остальные являются местными селекционными сортами и относятся к виду *M. alba* L.

Пробы листьев брались с деревьев 9-летнего возраста, шестисучковой формовой кроны, специально подготовленных для летне-осенней выкормки гусениц тутового шелкопряда. В соответствии с методикой, указанной в книге профессора А. И. Федорова — "Тутоводство" (1954).

С каждого сорта пробы листьев брались утром в одно и то же время с однолетних побегов в следующие сроки: первый возраст гусениц (5. VII), третий — (16. VII), пятый — (7. VIII), десять дней после летней выкормки (21. VIII), десять дней осеннего возраста гусениц (17. IX) и пятый осеннего возраста гусениц (2. X).

Листья, собранные в указанные сроки, использовались для биохимического анализа. Пробы листьев после сбора фиксировались водяным паром в течение 10—15 мин, после чего высушивались до воздушно-сухого состояния на бумаге в комнатных условиях. Воздушно-сухой материал был размельчен на лабораторной мельнице, просеян через сито диаметром 1—0,25 мм.

В образцах общего содержания растворимого сахара определялось экстрагированием материала водой с последующим определением сахара методом Бертрана.

Количество общего азота определялось по полумикрометоду Кильдаля, затем вычислялось количество сырого протеина умножением на коэффициент 6,25 (№ 16, 25). Содержание сырой клетчатки определено методом Гениберга и Штомана.

Все данные, приведенные в таблице 1, 2, и 3 на абсолютно сухой вес.

Таблица 1
Содержание общего растворимого сахара
в листьях шелковицы

Название сортов	Дата взятия проб						
	5. VII	16. VII	7. VIII	21. VIII	30. VIII	17. IX	2. X
Сыхгез-тут	10,40	9,34	8,40	7,85	8,40	11,99	9,02
Азери-тут	10,00	9,2	8,10	7,76	8,70	13,05	10,31
Адреули	6,83	7,18	9,74	9,32	8,93	8,00	7,38
Кокусо-70	8,90	6,31	8,26	8,40	11,53	9,15	8,49

Результаты и их обсуждение

Как видно из табл. 1, содержание общего растворимого сахара в листьях сорта Сыхгез-тут и Азери-тут с 5 июля по 21 августа снижалось. В листьях интродуцированных сортов целковицы Адреули и Кокусо-70 содержание его, наоборот, в этот период повышается. На Кокусо-70 содержание его, наоборот, в листьях первых двух сортов шелковицы с третьей декады августа в листьях первых двух сортов шелковицы содержание растворимого сахара вновь увеличивается до 17 сентября. В последних сортах опять наблюдается обратная картина.

Таблица 2

Содержание сырого протеина в листьях шелковицы

Название сортов	Дата взятия проб						
	5. VII	16. VII	7. VIII	21. VIII	30. VIII	17. IX	2. X
Сыхгез-тут	24,43	23,75	23,56	23,50	21,06	16,87	16,18
Азери-тут	25,31	24,12	19,62	22,31	19,25	21,12	18,81
Адреули	21,56	21,81	19,25	18,56	19,50	16,68	14,16
Кокусо-70	22,00	20,00	18,93	17,00	15,12	14,00	12,37

Таблица 3

Содержание сырой клетчатки в листьях шелковицы

Название сортов	Дата взятия проб						
	5. VII	16. VII	7. VIII	21. VIII	30. VIII	17. IX	2. X
Сыхгез-тут	11,86	11,47	9,48	12,20	14,56	14,77	9,79
Азери-тут	11,86	11,45	8,92	11,38	11,84	11,18	11,13
Адреули	9,86	11,43	12,35	12,75	12,70	12,93	12,15
Кокусо-70	11,01	10,99	11,14	11,09	10,27	10,35	11,32

По содержанию общего растворимого сахара во всех сортах исследований особенно отличаются сорта Азери-тут и Сыхгез-тут. Наши данные согласуются с результатами работ Демьянинского, Депешко, Иванова, Касивада, Филиппова, Рождественской, Чикало, Эфендиева и др. [3—11], в которых показано, что содержание растворимого сахара и степень его изменения в листьях в ходе вегетации зависят не только от сортового, но и от видового разнообразия под влиянием среды. Можно провести несколько кривых линий, отражающих динамику накопления сахара.

Анализируя данные, приведенные в табл. 2, можно сделать определенный вывод об уменьшении количества протеина в листе шелковицы по мере его развития в летне-осенний сезон, хотя это уменьшение в отдельных сортах идет неравномерно. Как показывают данные, во всех случаях протеина в листьях местных селекционных сортов накапливается больше, чем в листьях интродуцированных сортов.

Нами неоднократно указывалось, что белковые соединения имеют особое значение не только во всех жизненных процессах гусениц шелкопряда, но служат основным материалом для построения шелковины [1, 2].

Содержание сырой клетчатки (табл. 3) в листьях местных селекционных сортов Сыхгез-тут и Азери-тут с 5 июля по 7 августа уменьшается. Начиная с 21 августа до сентября наблюдалось увеличение его количества. Наряду с вышеуказанными продуктивными сортами шелковицы у сорта Адреули с 5 июля по 17 сентября лишь наблюдалось прямое восходящее направление количества клетчатки.

Сорта Кокусо-70 несколько отличаются по характеру изменения клетчатки от вышеуказанных сортов, хотя в первых трех сортах 2 октября обнаружена клетчатка в меньшем количестве по сравнению с японским сортом.

Учитывая более высокое процентное содержание протеина в листьях шелковицы в летний период и необходимость максимально быстрого достижения оптимального углеводно-белкового соотношения в норме представляется целесообразным рекомендовать использование листьев кормовой шелковицы для массовых выкормок 1 и 3 возрастов (5 и 26. VII) гусениц тутового шелкопряда в этом сезоне.

Это тем более удобно и выгодно еще и потому, что уровень белка в листьях шелковицы несколько падает в 5 возрасте (7. VIII), а клетчатки меньше, чем осенью.

Таким образом, усиление эксплуатации листьев шелковицы в период скармливания насекомых летом в молодом возрасте листьев более желательно как с точки зрения сахара, так и с точки зрения содержания сырого протеина и клетчатки.

ЛИТЕРАТУРА

1. Абдуллаев И. К. Сортовой состав кормовой шелковицы Азербайджана: Изд. АН Азерб. ССР, Баку, 1964, стр. 44—131.
2. Алиев М. О. Изучение влияния кормового качества листа перспективных сортов шелковицы на биологические показатели гусениц тутового шелкопряда в условиях Карабахской зоны. Материалы по генетике и селекции с/х растений. Изд. АН Азерб. ССР, 1964, стр. 91—100.
3. Демяновский С., Прокофьев Е., Филиппова Л. Влияние степени зрелости листьев шелковицы на жизнеспособность червей и качество коконон и нити. "Зоол. журн.", 1932, т. 12, вып. 1, стр. 3—32.
4. Демяновский С., Я., Доман А. Г. Изучение химического состава, листьев шелковицы в зависимости от степени их зрелости. "Биохимия", 1944, т. 9, вып. 6, стр. 360—364.
5. Депешко И. Т. Химический состав и кормовое качество листьев в зависимости от сортов шелковицы. Тр. Укр. опытной станции шелководства. Харьков, 1950, т. 4, стр. 145—149.
6. Иванов В. Сравнение различных сортов шелковицы и некоторых других растений в отношении пригодности их листьев для кормления тутового шелкопряда. Тр. Кавказск. шелк. станции, 1901, стр. 10—49.
7. Рождественская Л. Ф., Мусамухамедова А. Сравнительное качество листа шелковицы. Ж. "Шелк", 1961, № 3, стр. 29—30.
8. Чикало И. И. О кормовых достоинствах листьев некоторых сортов шелковицы. Реф. научн. исслед. работ (САНИИШ), Ташкент, 1950, стр. 18—21.
9. Шальман И. Н., Филиппович Ю. Б., Воскресенская З. А. Химический состав листьев некоторых сортов шелковицы, произрастающих в Узбекистане. Ж. "Шелк", 1963, стр. 23—26.
10. Эфендиев З. Г. "Шелководство" (на азерб. яз.), Азеручредиздат, 1964, стр. 95—98.
11. Касивада. Нихон сан сираку гзакки. J. Sericult sci Japan, 1955, 24, № 5—6 300—005.
12. Ж. "Биохимия", 1957, № 23, стр. 46.

Институт генетики и селекции

Поступило 1. XI 1966

б. М. Талышински, М. Н. Исаев

Jaј вә пајыз фәсилләриндә селексија тут сортларының јарпагларында шәкәр, протеин вә селлүлозун топлама динамикасы

ХҮЛАСӘ

Азәрбајчанда Jaј вә пајыз мөвсүмләриндә ипәк турдларының тут јарпаглары илә јемләмәсинин сынағдан кечирилмәсинин бөյүк тәсәрүфат әһәмијәти вардыр. Буну нәзәрә алараг, ипәк турдлары јемләнән заман јарпаглардан бир тиссә аյыраг иәкәр, протеин вә селлүлозун мигдары тә'жин едилмишdir.

Мүәjjән олумушшур ки, јерли селексија сортлары (Сыхгез-тут вә Азери-тут) республикамыза интродуксија олунмуш Адреули вә Кокусо-70 сортларына иисбәтән гида маддәләринин мигдарыны нәзәрә алараг, ипәк турдларыны пајызда јох, Jaј, фәслиндә јемләмәк даһа мәгсәдәүјгүндүр.

Бундан башга, јарпагларда гида маддәләринин мигдарыны нәзәрә алараг, ипәк турдларыны пајызда јох, Jaј, фәслиндә јемләмәк даһа мәгсәдәүјгүндүр.

ЗООЛОГИЯ

А. А. АБДИНБЕКОВА

НОВЫЕ ВИДЫ БРАКОНИД (BRACONIDAE, HUMENOPTERA)
ФАУНЫ АЗЕРБАЙДЖАНА

(Представлено академиком АН Азербайджанской ССР А. И. Каравым)

В статье дается описание новых видов браконид, собранных в разных биотопах Куба-Хачмасской плодовой и в Ширванской хлопковой зонах Азербайджана, а также самца *Chelonus caradrinae* Kок., до сих пор никем не описанного.

Материал по новым видам хранится в Институте зоологии АН Азербайджанской ССР.

Neochelonella caucasica Abdinbekova, sp. nov.

Похож на *Chelonella sulcata* Jиг., от которого отличается пунктированными боками среднегруди, нежноморщинисто пунктированной среднеспинкой и наличием на середине ее слабозаметных продольных бороздок, отсутствием продольного валика на промежуточном сегменте.

♀ 3,3 мм. Тело слабо опущенное, морщинисто-пунктированное. Наличник ясно пунктированный, блестящий, затылок поперечно-исчерченный; виски грубопунктированные блестящие, брюшко с естественными продольными складками. Черный; передние ноги, средние и задние тазики темно-бурые. Крылья слабо-дымчатые. Голова поперечная, уже груди, затылок слабо вырезанный, виски заметно уже глаза; расстояние между задними глазками в 1,5 раза больше диаметра глазка; продольный диаметр глаза в 2,9 раза больше поперечного и в 3 раза длиннее щек; длина лица больше его ширины. Усики чуть больше длины головы и груди; вместе взятых, нитевидные, 16-члениковые. Основной членник усиков втрое длиннее ширины, равен длине второго членика; членники жгутика от основания к вершине постепенно укорачиваются, у вершины лишь немногим длиннее ширины, снаружи более или менее сдавленные. Парапсиды в виде слабых едва заметных вдавлений; бока среднегруди пунктированные с мягкими продольными складками, среднеспинка нежноморщинисто-пунктированная посередине, со слабозаметными продольными бороздками, промежуточный сегмент без продольного валика с двумя боковыми зубцами и двумя слабыми срединными бугорками, от которых вперед отходят слабые валики. Передний край радиальной ячейки передних крыльев

равен длине стигмы; второй отрезок радиальной жилки чуть короче первого, более чем в 3 раза короче третьего, в 1,5 раза короче первой поперечной кубитальной жилки; субмедиальная жилка отделяет 1/3 основания дискоидальной ячейки. Задние бедра не утолщенные. Большая шпора задних голеней в 2 раза короче длины первого членика лапки, пятый членник лапок равен второму. Брюшко в 1,3 раза длиннее груди, овальное, на вершине закругленное, его длина в 4 раза больше ширины в вершинной трети с ясными продольными бороздками. Яйцеклад едва выступает за вершину брюшка.

♂ неизвестный.

Материал: Азербайджан, Куба, село Владимировка, фруктовый сад, на бедренце, 10. VII 1961, 1 ♀ (голотип).

Chelonus shirvanicus Abdinbekova, sp. nov.

Близок к *Chelonus scabrador* F., от которого отличается пунктированно-морщинистой грудью, продольной исчерченностью задней срединной части среднеспинки и промежуточного сегмента, сплошь черным брюшком, красным основанием бедер передних и средних ног, красной вершиной голеней задних ног.

♀ 4,5 мм. Тело слабо опущенное, морщинисто-пунктированное. Наличник ясно пунктированный, блестящий; затылок поперечно-исчерченный; виски продольно-исчерченные, брюшко с ясными продольными бороздками. Черный, основание бедер передних и средних ног, вершины голеней задних ног красные. Крылья слабо-дымчатые. Голова поперечная, кзади округло суженная, затылок слабовырезанный, виски заметно уже глаза; расстояние между задними глазками почти в 2 раза больше диаметра глазка; продольный диаметр глаза почти в 2 раза больше поперечного и в 2 раза длиннее щек; лицо чуть больше своей ширины. Усики больше длины головы и груди; нитевидные, 21-члениковые; основной членник усиков в 2,5 раза длиннее своей наибольшей ширины; первый членник жгутиков тонкий, в 3 раза длиннее своей ширины, чуть больше длины второго членика; членники от основания к вершине усиков постепенно укорачиваются, у вершины немногим длиннее своей ширины, снаружи у основания едва заметно сдавленные. Парапсиды слабозаметные; вся грудь пунктированно-морщинистая. Бока среднегруди грубопунктированные, с мягкими продольными складками; середина задней части среднегруди продольно исчерчена; промежуточный сегмент грубоморщинистый, без продольного валика, с ясными продольными бороздками, с двумя боковыми зубцами и двумя слабыми бугорками. Передний край радиальной ячейки равен длине стигмы, второй отрезок радиальной жилки равен первому, в 3 раза короче третьего, в 1,5 раза длиннее первой поперечной кубитальной жилки; субмедиальная жилка отделяет 1/3 основания дискоидальной ячейки. Большая шпора задних голеней чуть длиннее половины первого членика лапки, пятый членник лапок почти равен второму. Брюшко в 1,4 раза длиннее груди, яйцевидное, на вершине закругленное, его длина в 3 раза больше ширины в вершинной трети. Яйцеклад слегка изогнутый.

♂ неизвестный.

Материал: Азербайджан, Геокчай, сел. Поты, 28. V 1964, хлопковое поле, на бедренце, 1 ♀ (голотип).

Triaspis azerbajdzanicus Abdinbekova sp. nov.

Близок к *Triaspis obscurellus* Nees, от которого отличается гладкими мезоплеврами, более длинным яйцекладом, а также сплошь грубоморщинистым промежуточным сегментом.

♀♂ 2,8—3,2 м.м. Черный, передние голени сплошь, средние и задние в основной половине красно-бурые. Голова поперечная, гладкая, блестящая, кзади не суженная, затылок не глубоко выемчатый. Лицо поперечно, морщинисто-пунктированное, блестящее, лоб, темя и виски блестящие. Продольный диаметр глаза вдвое больше поперечного, ширина лица почти равна длине или чуть короче ее. Усики короткие, едва доходят до основания брюшка, нитевидные, 21-члениковые. Среднеспинка блестящая, гладкая, с глубокими парапсидами. Щиток гладкий, предщитниковая бороздка с насечками. Бока среднегруди блестящие, с широкой морщинистой бороздкой. Промежуточный сегмент весь грубоморщинистый, с продольным валиком, расходящимся за серединой. Крылья беловатые, прозрачные; крынички крыльев черные; стигма довольно широкая, черная. Первый отрезок короче ширины стигмы. Передний край радиальной ячейки равен длине стигмы. Поперечная субмедиальная жилка постфуркальная. Брюшко равно-длине головы и груди вместе взятых, удлиненно-яйцевидное, на вершине с вырезом. Швы между сегментами ясные. Брюшко слабоморщинистое. Яйцеклад равен длине брюшка, на вершине изогнутый.

Материал: Азербайджан, Геокчайский район, сел. Поты, на посевах люцерны, 28. VII 1964, 1 ♀ (голотип); на пастушьей сумке, рядом с посевами пшеницы, 26 V 1964, 1 ♀, Агдашский р-н, селение Шихлы на пастушьей сумке, вдоль дороги, 11. V 1964, 1 ♂.

Chelonus caradrinae Kōk.

Кокуев Н.: 1913, Русское энтом. обозр., XIII, 13.

♂♂ 5—5,7 м.м. Тело слабо-опущенное, грубоморщинисто-пунктированное. Наличник нежно пунктированный, блестящий, затылок поперечно-исчерченный, виски продольно исчерченные, брюшко с неправильными продольными складками. Черный, вершина бедер ног, основание задних голеней—красное; брюшко в основании с двумя большими желтыми пятнами. Передние крылья за стигмой дымчатые. Голова поперечная, кзади округло суженная, затылок слабовырезанный, виски заметно уже глаза; расстояние между задними глазками в 1,5—2 раза больше диаметра глазка; продольный диаметр глаза в 1,5—2 раза больше поперечного и в 1,5—2 раза длиннее щек; лицо чуть больше своей ширины. Усики в 2,5—2,8 раза длиннее головы и груди: нитевидные, 27—30-члениковые; основной членник в 2—2,5 раза длиннее своей наибольшей ширины, первый членник жгутиков тонкий, в 3—3,5 раза длиннее своей ширины, в 1,2—1,5 раза больше длины второго членника; членники жгутика к вершине постепенно укорачиваются, у вершины немного длиннее своей ширины. Парапсиды слабо заметные, бока среднегруди грубо-пунктированные, со слабыми продольными складками; промежуточный сегмент с продольным валиком, двумя боковыми зубцами. Передний край радиальной ячейки равен длине стигмы, второй отрезок радиальной жилки равен первому, в 3 раза короче третьего, равен длине первой поперечной кубитальной жилки; субмедиальная жилка отделяет 1/3 основания дискоидальной ячейки. Большая шпора задних голеней равна или чуть длиннее половины первого членика лапки, 5-й членник лапок чуть длиннее или равен второму. Брюшко в 1,2—1,6 раза длиннее груди, яйцевидное, на вершине заметно суженное и сдавленное книзу с боков; его длина в 2,2—2,6 раза больше ширины в вершинной трети: сплошь грубоморщинистое.

В Азербайджане *Chelonus caradrinae* Kōk. выведен из гусениц хлопковой совки. Обычный в Куба-Хачмасской, Ширванской и Ленкоран-

ской зонах Азербайджана. Нередко встречается на цветах укропа, бедренца, люцерны, клевера, сурепки, молочая, горчицы и т. д. Лет наездника отмечается с мая по сентябрь, в массе — в июле — в августе.

Материал: Азербайджан, Хачмас, сел. Гаджиалибек, 20 V 1962, фруктовый сад, I ♂ 15. VIII 1963; Геокчай, с. Поты, 20. V 1964, на р/траве, на хлопковом поле, I ♂, 26. VI 1964, I ♂, 17. VII 1964, I ♂ — 20. VII 1964, I ♂, 26. IX 1964, I ♂, 8. VIII 1964, 2 ♂ — выведены из гусениц хлопковой совки; 15. VIII 1964, I ♂ на посевах люцерны, 18. VIII 1964, 3 ♂; сел. Поты — 17. VIII 1964, I ♂ — фруктовый сад; Уджары — 13. VI 1964, I ♂; Масаллы, с. Калиновка, 28. V 1965, I ♂; 30. V 1965 I ♂ на горчице, 20. VI 1965 — 8 ♂ (в том числе голотип), 23. VI 1965, 4 ♂, 27. VI 1965 ♂, 1 VII 1965 — 2 ♂, 15. VII 1965 — 4 ♂, 17. VIII 1965, 1 ♂ — на укропе, огороде.

Институт зоологии

Поступило 7. VII 1966

А. Э. Абдинбекова

Азэрбајҹан фаунасы үчүн јени браконид
(*Braconidae, Hymenoptera*) нөвләри

ХУЛАСӘ

Мәгаләдә Азэрбајҹаның Губа-Хачмаз зonasы мейвә бағларының вә Ширван зonasы памбыг саһәләринин мұхтәлиф биотопларындан топланмыш браконид јарымфәсиләсіндән (*Cheloninae*) олан јени нөвләрин тәсвири верилмишdir: *Ncochelonella caucasica* Abdinbekova sp. nov., *Chelonus shirvanicus* Abdinbekova sp. nov., *Triaspis azerbaijanicus* Abdinbekova sp. nov.

Бундан башга, *Chelonus caradrinae* Kōk. нөвүнүн еркәк фәрдинин индијә гәдәр әдәбијатда һеч ким тәрәфиндән верилмәјән тәсвири вә эколокијасына даир бә’зи мә’лumatlar гејд едилмишdir.

ПОЧВОВЕДЕНИЕ

В. А. ТРЯПИЦЫН и Л. М. РЗАЕВА

**НОВЫЙ ВИД РОДА *ANAGYRUS* HOW (HYMENOPTERA,
ENCYRTIDAE)**

(Представлено академиком АН Азербайджанской ССР В. Р. Волобуевым)

В 1965 г. Л. М. Рзаева обнаружила в окрестностях Мингечаура интересный новый вид рода *Anagyrus* How, примыкающий по ряду признаков к группе видов, которую объединяли ранее под родовым названием *Gyranusa* Mercet (Mercet, 1921; Никольская, 1952).

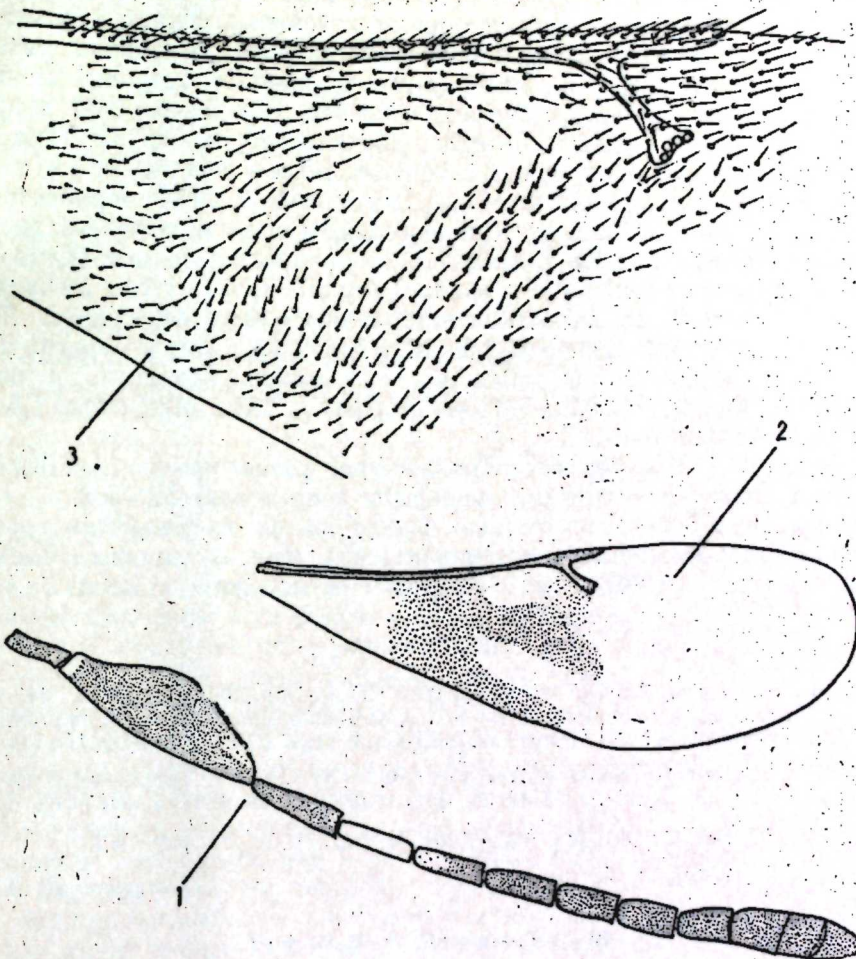
Близость *Gyranusa* и *Anagyrus* столь велика, что в настоящее время их считают синонимами (Erdős, 1964; Hoffer, 1966), причем приоритетным наименованием является *Anagyrus* How. Основное и, по-видимому, единственное отличие *Gyranusa* от *Anagyrus* — чрезвычайно узкая костальная ячейка передних крыльев. При взгляде на крыло *Gyranusa* сверху создается впечатление, что субмаргинальная жилка идет в своей вершинной части по переднему краю крыла, но в действительности же пленчатая костальная ячейка лишь загибается вниз, более или менее перпендикулярно крыловой пластинке. На нескольких видах можно проследить и различные стадии сужения костальной ячейки. Небезынтересно отметить при этом, что виды с очень узкой, загибающейся книзу костальной ячейкой передних крыльев найдены пока исключительно в аридных условиях (зоны пустынь, полупустынь и степей). Учитывая приуроченность группы видов с указанным признаком к определенному типу ареалов, может быть, следует поддержать точку зрения Эрдеша (Erdős, 1964), трактующего *Gyranusa* в качестве подрода *Anagyrus*. Для выяснения таксономической ценности относительной длины постмаргинальной жилки необходимо исследование дополнительных материалов.

Голотип нового вида хранится в коллекции Зоологического института АН СССР в Ленинграде.

Anagyrus nitidus Trjapitzin et Rzaeva, sp. n.

Самка. Тело слегка уплощенное. Голова чечевицеобразная, немногишире груди и несколько шире своей высоты. Темя в самом узком месте более чем вдвое уже наибольшей ширины головы (14,5:34). Край затылка острый, плавно вогнутый. Внутренние края глаз расходящиеся. Вершинный угол треугольника глазков немногим меньше 90°. Расстояние от заднего до переднего глазка меньше расстояния между задними глазками и больше расстояния от задних глазков до краев

глаз и края затылка (4:5:3). Щеки втрое короче глаз. Верхний край лицевой впадины расположен на уровне 1/2 высоты головы. Края лицевой впадины плавно закругленные. Усиковы желобки вверху соединяются, сходясь под углом, который немного меньше 45°. Лицевой выступ (между усиковыми ямками) хорошо развит и достигает края рта. Усики (рис. 1) причленяются на уровне нижнего края глаз. Рас-



Anagyrus nitidus Trjapitzin et Rzaeva, sp. n.

1—усик; 2—схема темного рисунка на диске переднего крыла; 3—жилкование и голая косая полоска переднего крыла. (затемнение мембранны не показано).

стояние между усиковыми ямками больше расстояния от усиковой ямки до края рта и меньше расстояния от усиковой ямки до края глаза (5:3:6). Край рта посередине с выемкой. Задний край переднеспинки треугольно выемчатый (135°). Щит среднеспинки примерно вдвое шире своей длины. Щиток плоский, равен по длине щиту и немногишире своей длины. Передние крылья более чем втрое длиннее своей наибольшей ширины, их жилкование изображено на рисунке. Голая косая полоска, широко прерванная, состоит из двух неодинаковых по величине участков и ограничена снизу несколькими рядами волосков. Основание крыла слабо опущенное. Максимальная длина краевой бахромки передних крыльев составляет около 1/13—1/12 наибольшей ширины крыла. Шпора средней голени немногим короче первого членика

средней лапки. Промежуточный сегмент сверху почти горизонтальный, посередине в виде узкой полоски. Брюшко заостренно-треугольное, длиннее груди (5:4).

длиннее груди (5:4). Голова темно-коричневая. Вдоль внутренних краев глаз по узкой коричнево-желтой каемке, которая расширяется у края затылка и на лице по направлению к щекам. Под каждой усиковой ямкой коричнево-желтое пятно, сдвинутое в сторону щеки. Узкая коричнево-желтая каемка тянется и вдоль наружных краев глаз. Усики черные; небольшой участок в основании основного членика, маленькое пятно с его нижней стороны у вершины (вид с внутренней стороны членика) и первый членик жгутика белые; основание (примерно 3/8) второго членика жгутика грязновато-белое. Верхняя сторона груди (включая крыловые крышечки) и брюшко темные. Бока и низ груди, а также ноги желтовато-коричневые. Промежуточный сегмент черновато-коричневый. Передние крылья со своеобразным темным рисунком (рис. 2). Средние бедра и задние голени черно-коричневые, задние бедра коричнево-черные. Передние и задние лапки, кроме 1-го членика, и последний членик задних лапок затемненные. Тело блестящее. Темя и лоб едва заметно шагренированные, почти гладкие и голые. Лицо и верхняя сторона груди тонко, но ясно шагренированные, в очень мелких тонких и коротких редких волосах. Длина тела около 1,5 мм.

Самец неизвестен.

Голотип (♀): окрестности Мингечаура, разнотравье, 1. VIII 1965, (Л. М. Раева); усик и переднее крыло в препарате № 1563.

Новый вид отличается от всех известных видов *Anagyrus* группы *"Gyranusa"* блестящей поверхностью тела, почти гладким теменем, лбом и своеобразным темным рисунком на передних крыльях.

ЛИТЕРАТУРА

1. Никольская М. Н. Халыцыды фауны СССР. Оп. по фауне СССР, 44. Изд. АН СССР, М.—Л., 1—575, 1952. 2. Erdős J. 10. család: Encyrtidae—szláványsürkészek. Chalcidoidea III. Fauna Hungariae, XII; Hym. II (4):372 + I—8, 1934. 3. Hoffeter A. Přehled nálezů 1 rodu skupiny Anagyrus Hom. (Hym. Chalc., Encyrtidae) v Československu. II. Zprávy Českoslov. Společn. Ent., II (2):21—29, 1965. 4. Mercet R. G. Fauna Ibérica. Himenópteros fam. Encyrtidos. Madrid: I—XI, 1—732, 1921.

Институт зоологии

Поступило 18. II. 1967

В. А. Трјаписин, Л. М Рзајева

Anagyrus чинсинэ аид јени нөв

ХУЛАСӘ

Азәрбајчанда Минкәчевир әтрафында топланымыш һәшәрат материаллары арасында *Encyrtidae* фәсиләсинин *Anagyrus* чинсинә аид олан яни нөвү мүәләән едилмишdir.

Мэглэдэх ёмийн нөвүүн тэсвирийн эх шэкли верилшидир.

БАЙТАРЛЫГ

М. Г. ГӘНИЈЕВ, М. И. ЙӘСӘНОВ

ЗЭИФ ВИРУЛЕНТЛИ ЛИСТЕРИОЗ КУЛТУРАСЫ ИЛЭ
ПЕЙВЭНД ЕДИЛМИШ ИРИБУНУЗЛУ ҮЕЖВАНЛАРДА БЭ'ЗИ
ИММУНОБИОЛОЖИ ҚОСТЭРИЧИЛЭРИН ӨЈРЭНИЛМЭСИ

Листериоз аз өјрәнилән хәстәликләр сыйрасына дахиј олмагла малдарлыға бөйүк зијан вурур. Хәстәлик епизоотик вә епидемиологи әһәмијәтә маликдир.

Сон иллэрдэ листериоз хэстэлийнин этиологијасы, патокенези, клиникасы вэ иммунологијасына даир истэр ССРИ-дэ вэ истэрсэ дэхаричдэ бир сыра тэдгигатлар апарылмышдыр ки, бу да шүбһэсиз хэстэлийн кениш мигласда јаылмасы илэ элагэдарьдыр.

Листероз хәстәлиги Азәрбајҹанда 1946-чы илдән өјрәнилмәјә башланмышдыр. (А. Ханкишиев, Э. М. Хәлилов, Э. А. Мәммәдов, Э. А. Эниағыев). Хәстәлигин тәрәдицисинә қәмиричиләрдә, вәиши донузларда вә чејранларда тәсадүф едилмишdir (А. Ханкишиев, М. Г. Гәниев, Л. һ. Мәммәдова, Ф. А. Абушев).

Листериозун өјрәнилмәсинә даир кениш тәдгигат ишләринин ап-
рылмасына бахмајараг, бир сырға мәсәләләр һәлә дә өјрәнилмәмишdir.
Белә ки, индијәдәк бу хәстәлијә гарыш актив профилактик тәдбир-
ләр назырламамышдыр. Айры-айры тәдгигатчылар тәрәфиндән тәклиф
едилән актив пејвәнд васитәләри исә өз иммунобиологи хүсусијәт-
ләринә көрә тәсәррүфат шәрәнтиндә кечирилән сыйнаглар заманы өзүнү
лазымынча дөгрүлтмамышдыр. Одур ки, бу хәстәлијә гарыш актив
пејвәнд назырламаг алимләrin гаршысында вачиб бир мәсәлә кими
дурмушшур. Бу мәгсәдлә 1957-чи илдән башлајараг, Азәрбајҹан Елми-
Тәдгигат Бајтарлыг Институтунда кениш елми-тәдгигат ишләри апа-
рылмыш, иәтичәдә довшан, донуз вә дикәр һејванларын организми
үчүн зијансыз, иммунобиологи хүсусијәтә малик олан листериоз
културасынын штаммы элдә едилмишdir ки, һәмин штаммдан М. Г.
Гәнијев вә Э. А. Эннағыјев тәрәфиндән гојуиларын листериозуна
гарыш актив пејвәнд (ваксин) назырламамышдыр. Һәмин пејвәнд васи-
тәси өлкәмизин мұхтәлиф ҷографи зоналарында тәчрүбәдә сыйнадан
кечирилмишdir. Нәһајэт мә'лум олмушшур ки, ваксин йүксәк имму-
нобиологи хүсусијәтә маликдир.

Назырда гојунларын листериозуна гаршы Аз. ЕТБИ тэрэфиндөн назырланымыш ваксин кениш тэтбиг-едилир вэ биофабрика тэрэфиндөн күтлэви сүрэтдэ бурахылыр.

Ирибуиңузлу һөјкеларда листеріоз ваксини илә пејвендләмә апардыгда ган зәрдабында үмуми зұлалын вә зұлал фраксијаларының орта көстәричиләре

Гејд етмәк лазыымдыр ки, ирибујнузлу һејванларда һәмmin ваксенин иммунобиологи хүсусијәти өјрәнилмәдијинидән, биз һәмmin ваксенинә пејвәнд едилмиш ирибујнузлу һејванларын организминдә кедән бә'зи иммунобиологи көстәричиләрин өјрәнилмәсисин гарышыја мәгсәд гојдуг.

Тәчрүбәләр 8—10 айлыг 6 баш ирибујнузлу һејван үзәриндә апа-
рылмышдыр. Тәчрүбәлә башламаздан әvvәл һәмин һејвандар 12 күн
мүддәттәндә клиники нәзарәт алтында сахланылыш вә һәмии муд-
дәтлә 3 дәфә ган алыныб умуми зұлалын, зұлал фраксијасының опсо-
но-фагоситар индекси, агглүтиний титри вә һемограммын орта көстәри-
чиши тә'жіриде едилмишdir.

Сонра heјванилар зәйф вирулентли листериоз културасы илә пејвәнд едилшишdir. Култура эзәләрасына 2 дәфә, 10 күн фасилә илә (биринчи дәфә 5 *мл*, икinci дәфә 6 *мл*) јеридилшишdir. Биринчи пејвәнддән 1, 5 вә 10 күн, икinci пејвәнддән 1, 5, 10, 15, 30, 60, 90, 120, 150 күн сонра ган алыныб јухарыдақы көстәричиләрә көрә Joxланылмышдыр.

Эдебијјат мә'луматларындан мә'лумдур ки, античесимләрин әмәлә кәлмәси глобулиләрлә, хүсусилә гамма-глобулин фраксијасы илә сых әлагәдардыр (А. А. Зилбер, Бојд, С. И. Афонски вә с.). Иммунизација заманы ган зәрдабында зұлал вә зұлал фраксијасының динамики оларға дәжишмәсінни өјрәнән бир сырға тәдгигатчылар (О. А. Василевса, А. А. Конопаткин, М. С. Масловски, А. С. Нечајева, Г. Н. Борисова, З. Н. Поспелова, Л. З. Дадашова вә с.) да өз әсәрләриндә ейни фикри шәрх едиrlәр.

Жұхарыдақыларға әсасен, биз зәйіф вирулентті листериоз күлтүрасы ілә пејвенд едилмиш ирибујнұзлу һејванларын ған зәрдабында зұлал вә зұлал фраксијасының иечә дәжишмәсінни өјрәнмәжі гарышыја мәгседе ғојдуг.

Анардығымыз тәдгигатлар нәтичәсіндә мә’лум олмуш дур ки, пеј-вәнд едилмиш һејванларын фәрди хүсусијәтләриндән асылы олмајараган зәрдабында мүәjjән дәжишиклик кедир. Чәдвәлдән көрүндүү үкими, истәр биринчи вә истәрсә дә икинчи пејвәнддән соңра албуминләр азалып, глобулинләр (хүсусилә гамма-глобулинләр) артып. Белэ ки, әкәр гамма-глобулиниң мигдары иммунизасијадан габаг орта несаба 42,5 %-и тәшкىл едирдисә, пејвәнддән соңра мигдары артмышыры. Икинчи пејвәнддән 10 күн соңра гамма-глобулиниң мигдары 50,5% олмуш дур.

Үмүмийжётлэ, тэkrары вакцинацијадан сонра гамма-глобулиний мигдары узун мүддэт јүксэх сэвиijэдэ галыр вэ тэчрүбэний ахырында пеjвэнддэн габагы көстэричијаjaxынлашыр. Албуминлэр исэ эксинэистэр биринчи вэ истэрсэ икинchi пеjвэндлэмэдэн сонра азалыр. Жалныз икинchi пеjвэндлэмэдэн бир аj кечэндэн сонра албуминлэрин мигдары статусда олдуу гэвийнэ бэрэблэшир.

Глобулинләрин артмасы вә албуминләрин азалмасы илә әлагәдар олараг онларын бир-биринә олан мүнасибәтләри дә (эмсалы) дәјишире. Экәр иммунизасијадан габаг глобулини албуминләрә мүнасибәти 0,44 тәшкىл едирдисә, пејвәндләмәдән соңра һәмин мүнасибәт азалмаға доғру кедир ки, бу да иммунизасијадан соңра глобулинләрин артмасы вә албуминләрин азалмасы илә әлагәдар олараг ганунаユғун хүсусијәт дашылып.

Умуми зұлалын мигдарында истәр биринчи вә истәрсә дә икinci пејвәндләмәдән соңра демәк олар ки, мұһым дәжишиклијә тәсадүф едилмир. Бә'зи қынләрдә үмуми зұлалын мигдарынын азачыг артмасы мушаһидә едилir.

Тәлғигатын апарылдығы күнлөр	Үмүми зұлал, г %-лә	Албумин-ләр	Зұлал фраксијасы				Албуминниң глобулинің мұнасабеті	
			Глобулиналар					
			алфа	бета	гамма	чәми		
Пејвәндләмәдән ғабаг								
	8,22	30,5	14,3	13,1	42,5	69,5	0,44	
Биринчи пејвәндләмәдән сонра								
1	8,31	20,1	16,1	14,4	49,3	79,9	0,25	
5	8,29	25,7	16,4	14,9	43,0	74,3	0,34	
10	8,35	22,0	16,3	13,0	48,2	78,0	0,28	
Икinci пејвәндләмәдән сонра								
1	8,32	23,1	15,4	13,2	48,2	76,9	0,30	
5	8,31	24,8	16,0	13,9	45,3	75,2	0,33	
10	8,32	23,6	12,4	13,5	50,5	76,4	0,31	
15	8,23	24,3	13,1	13,2	49,4	75,7	0,32	
30	8,29	30,7	10,7	12,7	44,9	69,3	0,44	
60	8,23	31,2	12,3	13,2	43,3	68,8	0,45	
90	8,22	30,5	13,4	12,6	43,5	6,5	0,44	
120	8,31	30,4	12,9	13,4	43,2	69,6	0,44	
150	8,29	30,5	12,7	12,6	43,1	69,4	0,44	

Алфа- вэ бета-глобулиилэрин мигдарында да истэрсэ биринчи вэ
истэрсэ дэ икинчи пејвэндлэмэдэн сонра нэзэрэ чарпачаг дэјишиклија
тэсадуф едилмир.

Бир сыра тәдгигатчылар тәрәфиндән мүәжжән едилмишdir ки, нәрhanсы бир физиологи вәја патологи факторун организмә тәсирганын нәники кимjәви тәркибини дәжишир, ejни заманда онун морфоложи гурулушунда да дәжишиклиjә сәбәб олур. Она көрә бә'зи алимләр ганын морфологи гурулушунун ёjrәнилмәсинә беýük әhәмиjät верир (Л. А. Кассирски, М. И. Бобров, О. И. Прекер, В. Н. Николски вә с.). Апардығымыз тәдгигатлардан мә'lум олмушшур ки, ири-буjнузлу hejванларда листериозун зәйif вирулентли культурасы илә пеjвәнд апардыгда леjкоситләр вә онларын неjтрофил hүчеjрәләри артыр. Бу да шубhәсиз организмин мүгавимәт гүvvәси илә әлагедардыр.

Истәр бириңчи вә истәрсә дә иккىчи пејвәндләмәдән соңра нәмоглобинни мигдары норма әтрафында тәрәддүд едир, еләчә дә еритроситләрни мигдары кәскин дәјишиклијә уграмыр. Лејкоситләрни мигдары исә пејвәндләмәдән соңра артыр. Белә ки, пејвәндләмәдән габаг орта көстәричи 7,9 минә бәрабәрдисә, бириңчи пејвәндләмәдән 5 күн соңра онларын мигдары артараң 12 минә, 10-чу күн 13,9 минә чатыр. Иккىчи пејвәндләмәдән 5 күн соңра лејкоситләрни максимал артмасына тәсадүф едилир ки, бу вәхт онларын мигдары 16,7 минә чатыр. Ирэлидәки тәчрүбәләрдә лејкоситләрни мигдары кетдикчә азалыр вә нәһајет, пејвәндләмәдән габагы сәвијјәјә җаҳынлашыр. Апардығымыз тәчрүбәләр көстәрмишdir ки, лејкоситозун дәјишимәси ајры-ајры тәчрүбә нејванларында мухтәлиф дәрәчәдә олур ки, бу да онларын фәрди хусусијәтләриндән ирэли кәлир.

Базофил вә еозинофил нүчејрәләриң мигдарында характерлык деңгээликлөө тәсадүф едилмири. Нейтрофилләрин, хүсусен сегмент нүчејрә-

ләринин дәјишилмәсінә, артмасына тәсадүф едилер ки, бу да иммунизасија заманы организмин мұғавимет гүввәсинин артмасыны көстәрир. Экәр, пејвәнддән габаг сегмент һүчејрәләринин орта көстәричеси лејкоситләрин 18,5%-ни тәшкил едирдисе, биринчи пејвәндләмәдән 10 күн соңра бу рәгем 36,5-ә чатыр.

Икинчи пејвәндләмәдән соңра сегмент һүчејрәләрин мигдары даңа да артыр. Эн чох артым икинчи пејвәндләмәдән бир күн соңра мұшаһидә едилер ки, бу вахт һәмни һүчејрәләрин мигдары 41,9%-и тәшкіл едир. Икинчи пејвәндләмәдән 3 аж соңра сегмент һүчејрәләринин мигдары азалараг илк вәзијәтиң, жәни пејвәндләмәдән габагы көстәричеси چатыр. Мараглыдыр ки, нејтрофилләрин артмасы бүтүн дөврләрдә лимфоситләрин азалмасы илә мұшаһидә олунур. Җәдвәлдән көрүндүү кими, моносит һүчејрәләринде характерик дәјишиклијә тәсадүф едилмир.

Апарылан бир сыра тәдгигатлар көстәрмишdir ки, иммунизасија заманы организмдә кедән фагоситозун вә античесимләрин динамики олараг нечә дәјишилмәсіни өјрәнмәк әсас шәртләрдән биридир. Бөյүк рус алими И. И. Мечниковун ады илә бағлы олан фагоситоз тә'лими иммунология саһәсіндә ишләјен тәдгигатчыларын елми әсәрләрindә кениш шәрhi едилмишdir. Бир сыра алимләр фагоситоз реаксијасындан мұхтәлиф хәстәлікләрин диагностикасында вә ваксинацијадан соңра әмәлә кәлән иммунитетин өјрәнилмәсіндә кениш истифадә етмишләр (М. В. Рево, В. М. Мәчишов, М. К. Йусковес, Л. А. Тузова, А. С. Керман, В. А. Жуденич вә с.). Лакиј листериоз инфексијасында бу мәсәлә кифајэт гәдәр өјрәнилмәшишdir. Эдәбијатда ОФР-ин лаборатор вә ев һејванларында өјрәнилмәсінә даир бә'зи мә'лumatлар вардыр (В. В. Сливко, М. Н. Кулчitsкаja, М. И. Јашенкина, Э. А. Эннағыев, В. М. Захаров вә с.).

Агглютинасија реаксијасынин организмин иммунобиологи хүсусијәтини айламада бөյүк ролу вардыр. Бу саһәдә әдәбијатда кифајэт гәдәр мә'лumat олдуғундан онун әһәмијәтини бир даңа әсасландырылага етијаң галмыр.

Апардығымыз тәчрүбәләр көстәрмишdir ки, листериозун зәиф вирулентli културасы илә пејвәнд едилмиш ирибујнузлу һејванларда лејкоситләрин активлиji јүксәлир. Белә ки, экәр пејвәндләмәдән габаг фагоситар көстәричеси сыйфа бәрабәр олурса, биринчи вә икинчи пејвәндләмәдән соңра һәмни көстәричеси 15—16-я, айры-айры һејванларда исә 18—20-јә чатыр.

Лејкоситләрин фагоситар активлиjiинин артмасы илә жанаши олараг, ганды агглютинилләрин мигдары артыр. Бүтүн тәчрүбә һејванларында агглютинилләрин әмәлә кәлмәсі биринчи пејвәндләмәдән 5 күн соңра башлајыр. Күлтуралын организмә тәкәрәрән җеридилмәсі агглютинилләрин даңа чох әмәлә кәлмәсінә сәбәб олур. Бә'зи һејванларын ганында 2 аж кечдиқдән соңра агглютинилләрин титри 1:3200 нисбәтінә чатыр. Икинчи пејвәндләмәдән 2 аж кечдиқдән соңра агглютинилләрин титри азалмaga башлајыр вә тәчрүбәлә башламаздан әvvәл олдуғу сәвијәје дүшүр.

Жұхарыда көстәриләнләрдән айдын олур ки, зәиф вирулентli листериоз културасы илә пејвәнд едилмиш ирибујнузлу һејванларын организмидә бир сыра биологи вә биокимjәви дәјишикликләр кедир. Белә ки, пејвәндләмәдән соңра глобулинләрин, хүсусијә гамма-глобулинләрин артмасы, лејкоситоз, нејтрофилија, лејкоситләрин активлиjiинин, агглютинасија титриинин артмасы организмдә иммунобиологи реактивлиjiин сәфәрбәрлиjә алышмасыны бир даңа сүбүт едир.

Апарылан тәдгигатлардан ашағыдақы нәтичәләри чыхармаг олар: 1. Ирибујнузлу һејванлар зәиф вирулентli листериоз културасы:

иля пејвәнд едилдикдә ганда үмуми әүлалын нәзәрә чарпачаг дәрәчәдә артмасына тәсадүф едилмир.

2. Иммунизасијадан соңға глобулинләрин (хүсусијә гамма-глобулинләрин) мигдары артыр, албуминләрин мигдары азалајыр. Алфа-вә бета-глобулинләрин мигдары исә кәсқин дәјишиклијә уғрамыр.

3. Пејвәнд едилмиш һејванларда фагоситоз култураса организмә җеридилдикдән 10 күн соңра мұшаһидә едилир. Јүксәк фагоситоза икинчи пејвәндләмәдән соңға 5-чи 10-чу күнләр тәсадүф едилир.

4. Биринчи пејвәндләмәдән 5 күн соңра ганда агглютинилләрин әмәлә кәлмәсінә тәсадүф едилир. Културалын организмә тәкәрәрән җеридилмәсі агглютинилләрин даңа да артмасы сәбәб олур. Айры-айры һејванларда агглютинасија титри 1:3200 нисбәтінә чатыр.

5. Иммунизасијадан соңға ганда лејкоситләрин мигдары артыр ки, бу да әсас е'тибарилә нејтрофил һүчејрәләрин һесабына олур. Немоглобинин, еритроситләрин, еләчә дә базофил, еозинофил вә моноситләрин мигдарынын дәјишилмәсіндә мүһүм дәјишиклијә тәсадүф едилмир.

6. Ганын зұлали вә морфология тәркибинин дәјишилмәсі, лејкоситләрин фагоситар активлиjiинин вә агглютинасија титринин артмасы зәиф вирулентli листериоз културасы илә пејвәнд олунмуш һејванларын организмидә иммунитетин әмәлә кәлмәсінің көстәрир.

Бајтарлыг институту

Алғынышыры 15. X 1966

М. К. Ганиев, М. И. Гасанов

Некоторые иммунобиологические показатели у животных, вакцинированных слабовирулентной культурой листерий

РЕЗЮМЕ

В Азербайджанском НИВИ М. К. Ганиевым и А. А. Аннагиевым из слабовирулентной культуры листерий изготовленна вакцина против листериоза овец, которая была широко применена в широком производственном опыте с положительным результатом. Однако иммунобиологические особенности вакцины по отношению к крупному рогатому скоту не изучены, что побудило нас заниматься изучением данного вопроса.

Нами изучена динамика изменения содержания общего белка и белковых фракций крови, морфологический состав крови с выведением лейкоцитарной формулы, фагоцитарной активности лейкоцитов и образования антитела в крови после иммунизации.

Полученный нами экспериментальный материал со всей конкретностью показывает, что организм животных не остается нейтральным к слабовирулентной культуре возбудителя листериоза (выпускаемого АзНИВИ в качестве вакцины против листериоза мелкого рогатого скота).

Двукратное введение этой культуры вызывает у животных ряд изменений биологического и биохимического характера. В частности, мы обнаруживаем заметные сдвиги в содержании белковых фракций крови, а именно в повышении гамма-глобулиновой фракции. Одновременно существенные смещения в сторону повышения наблюдаются и в титре агглютининов. Отмечается значительный нейтрализант, сопровождаемый лимфоцитогенезом.

АРХЕОЛОГИЈА

Р. Б. КӨҮШОВ

ДАГЛЫГ ГАРАБАГДА ЧОХТЭБЭГЭЛИ АБИДЭ

(Азәрбајҹан ССР Елмләр Академијасының академики Ә. Ә. Элизадә төгдим етмишdir)

Жерли әһали тәрәфиндән Чыраглы тәпәси вә ja Галачыг алданан бу абында Ағадам району илә Мартуны району сәрхәддиндә, Құлаблы кәндіндән 3 км шимала, Чыраглы дағынын әтәйинде жерләшмишdir. Бу абында һүндүрлүjу тәхминән 200 м-э жаҳын олан дағатеji тәпәдән ибарәтdir. Тәпә шимал вә чәнубдан дәрин гобу, шәрг тәрәфдән ки-чиқ дағ чајы, гәрбдән исә Чыраглы дағы илә әһатә олунмушdур. Соң илләрдә жерли әһали бу тәпәдән чохлу даш чыхардараг иншаат материалы кими истифадә етмишdir. Тәпәдәки мәдәни тәбәгеләр дә мәһз бунын иәтичәсіндә ашқар едилмишdir. 1963—1964-чү илләрдә Азәрбајҹан ССР ЕА Тарих Институтунын бу әразијә тәшкил етдији археоложи-кәшfiјат сәфәри заманы һәmin тәпә нәзәрдән кечирилмиш вә орадан хеjли мадди-мәдәниjјэт галыглары топланмышdыr. Тәдгигат заманы ашқар олмушdур ки, бу тәпәдә мәдәни тәбәгәнин үмуми галынылығы 20—25 м олмагла, мұхтәлиf дөврләри әһатә едир. Һәләлик мүejjән едилмиш ән гәдим тәбәгә ер. әв. VI—V әсрләри әһатә етмәклә дәмир дөврүнә тәсадүf едир. Орта несабла 5—6 м галынылығында олан бу тәбәгә тәпәнин зирвәсіндән 25 м ашагыдан башлаjыр. Һәmin тәбәгәдән ашқар олунмуш әсас абынеләр гәбирләрдән вә гисмән дә мәишәт галыгларындан, хүсусилә дивар, тәндир вә очаглардан ибарәтdir. Геjд етмәлиjик ки, ашқар олунмуш гәбирләр әсасын даш гутулардан ибарәтdir. Лакин онлар дағыдылдығында гәбирләрдә скелетин вәзиijетини мүejjәнләшdirмәк мүмкүн олмады. Жалныз орадан топланмыш кил габлар һәmin гәбирләрин дөврү нағгында мүejjән тәсәввүр јарады.

1963-чүй илдэ бурада дагыдылынш вэ бир-бириңе јахын олан ики даш гуту гэбидэн јалныз үч эдэд кил габ элдэ едилмишдир (табло, 1—3-чү шэкиллэр). Бу габлар тэркиблэри, назырланма хүсусијээтлэри, форма вэ рэнклэри ётибарилэ дэ бир-бириндэн фэрглэнимир. Буулар эсасэн нарын килдэн элдэ назырланмынш, бардаг типли габлардыр. Нэмийн габлар дулус күрсийнде кејфијэетли биширимниш, үзэрлэри исэ чилаландыгдан соира гара рэнклэ ангобланмышдыр. Габлар дар боғазлы, енли көвдэли вэ јасты отурачаглыдыр. Ағызлары сүдданвары дүзэлдилмишдир. Габларын гулпунун бир тэрэфи габын ағзына, дикэр тэрэфи исэ көвдэж јапышдырылмышдыр. Нэр үч габын чијин ниссэси

бир нечә чәркәдән ибарәт чызма хәтләрлә һашијәләнмишdir. Ер. эв. VI—V әсрләрә аид олан бу габлар тапылдыглары гәбирләrin дөврүү мүәлләнләшdirмәк учун бөյүк әһәмијәтэ маликдир.

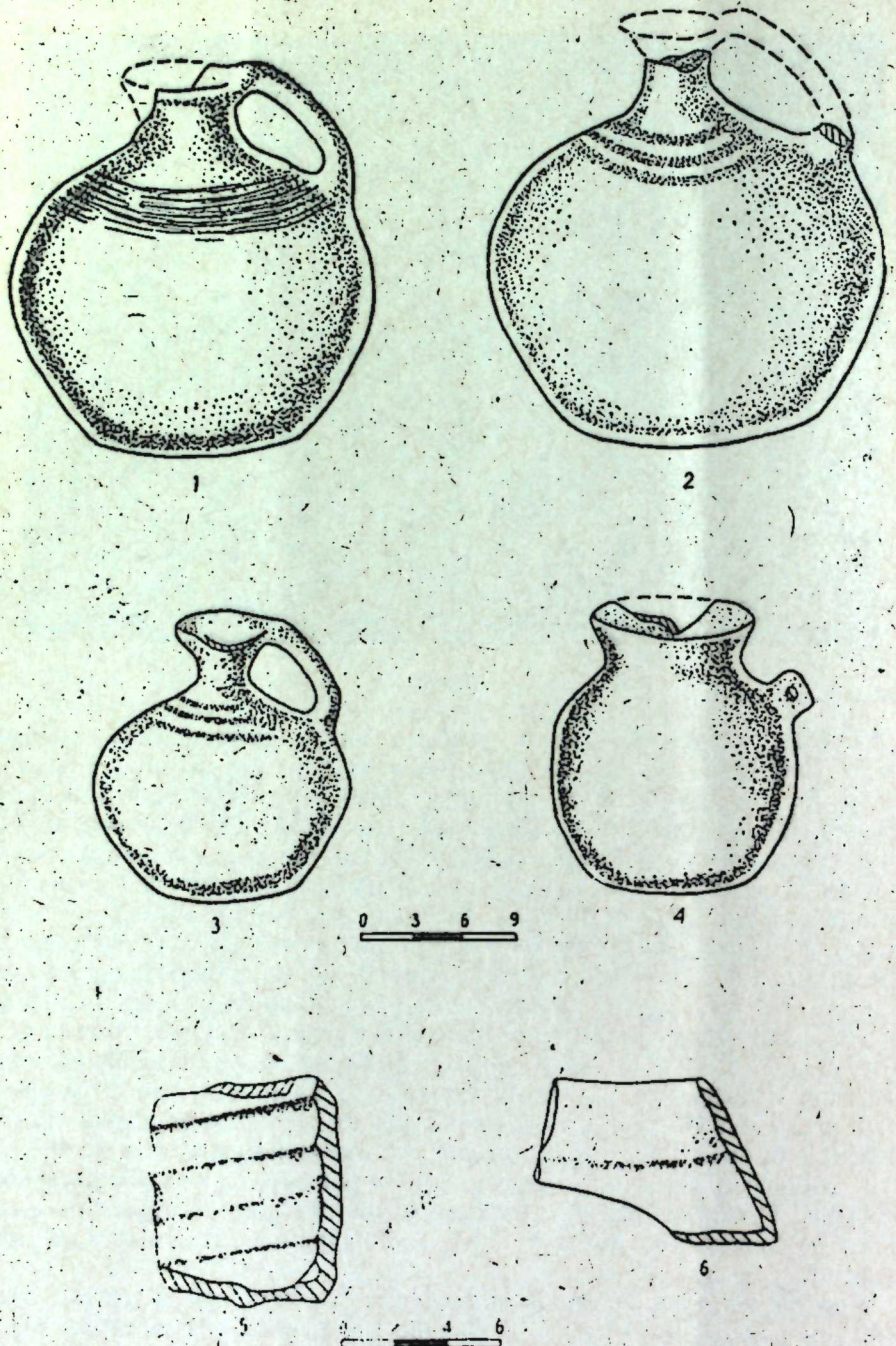


Шәки.

Чыраглы тәпәсисинин дәмир дөврүнә аид дикәр мадди-мәдәнијәт талығы тәндир вә гисмәң дә бина һөркүсүндән ибарәтдир. Бурадакы тәндир јердән газма олуб, ичәриси галын кил тәбәгәсі илә суваныштырып. Онун ағзынын диаметри 60, дәринилиji исә 95 см-дир. Тәндирлә ејни сәвијјәдә ашкар олунмуш дивар галығы даһа мараглыдырып. Онун ачыг галмыш һиссәсисидән мә'лум олур ки, бұу ев Яарымгазма налында олмуш, жалныз јухары һиссәси даща һөрүлмүшшүр. Һөрку ири лај дашларла, неч бир бәркидичи маддә олмадан (сувагсыз) чекилмишшидир. Гејд етмәлијик ки, бу тәпәдә вә онун әтрафында галынлығы 10—15 см, үмуми һәчми исә мұхтәлифөлчүлү, дүз лөвһәвары даш мә'дәни олдуғундан ону йонмаға ентијақ жохдур. Назырда да јерли әнали һәмин дашлары, жалныз һәчминә көрә гырыб, йонмадан тикинтидә истифадә едир. Дәмир дөврүндә дә һәмин дашлары йонмадан, һәм дә сувагсыз бир-биринин үстүнә гојмагла, евләрин јухары һиссәсипи һөрмүшләр. Лакин ашкар олунмуш һөркүнүн әсас һиссәси хејли торпағын алтында олдуғундан онун нә кими бинаја мәхсус олмасыны. айдынлашдырмаг мүмкүн олмады (шәкил). Көстәрдијимиз тәндир вә һөрку галығы даш гуту гәбирләрдән тәхминән 2 м гәдәр үстдәдир.

Чыраглы тәпсесинде нөвбәти тәбәгә күп гәбирләри дөврүнүң эштә
едир. Белә ки, даш гуту гәбирләри вә онлара мәхсүс йашајыш јерин-
дән үстдә күп гәбирләри јерләшмишdir. Ашкар едилемиш бир әдәд
күп гәбрин дағылмыш олмасына баҳмајараг, онун истигамәтини мүэж-
җән едә билдик. Белә ки, гәбирдә күпү шимал-шәрг истигамәтиндә
гојмушлар. Бу гәбрин инвентарларындаи յалныз бир әдәд кил габ әлдә
етмәк мүмкүн олмушшур (табло, 4-чу шәкил). Допу типли бу габ
нарын килдән әлдә назырыланарааг гырымызы рәнкдә биширилмишdir.
О, кениш бөгаза вә јасты отурачага маликдир. Габын чијни үзәриндә

бир чыхыг дүзэлдилмиш, һәмин чыхыбын ортасы исә назик дешилмишdir. Бу дешикдән йалныз ип кечирмәк мүмкүн олдуғундан онун көчәриликтә истифадә едилдиини еңтимал етмәк олар.



Табло

Чыраглы тәпәсинин зирвәсінә жақын һиссәләрдә исә орта эсрләрә ишт чохлу мадди-мәдәнијәт галыглары вардыр. Бурадан орта эсрләрә ишт су түнкүнүн һиссәси (табло, 6-чи шәкил), гәлиби хатырладан кил эшja (табло, 5-чи шәкил), вә хејли мигдарда ширли кил габ һиссәләри топланыштыр.

Чыраглы тәпәсинин Јерли әнали тәрәфиндән Галачыг адланмасы да тәсадүфи дејилдир. Онун зирвәсінде галаны хатырладан дивар изләри мушаһидә олунур. Лакин тамамилә дағылдығындан, газынтысыз онун гурулушу нағында тәсәввүр жаратмаг мүмкүн дејилдир. Үмумијјәтлә, гала диварынын варлыгына әсасән белә иәтичәјә қәлмәк олар ки, бурада инкишаф етмиш феодализм дөврүндә чәнубдан кәлән дағәтәји карван јолуну нәзәрәтдә сахламаг үчүн көзәтчи мәнтәгәси Іарадылмыштыр.

Абидәнин Чыраглы адланмасының сәбәби исә бурадан вә әтраф әразидән вахты илә чохлу кил чырагларының ашкар едилмәсидир.

Бүтүн յухарыда дејиләнләрә әсасән белә бир иәтичәјә қәлмәк олар ки, Чыраглы тәпәсіндә дәмир дөврүнүн орталарындан башлајараг орта эсрләрә гәдәр һәмишә жашајыш олмушудур. Чыраглыда бир-бiriни әвәз едән гәбири типләри вә жашајыш мәскәнләри халгымызын чохәсрлик тарихини ардычыл оларағ өјрәнмәк үчүн сон дәрәчә бәјүк елми әһәмијјәтә маликдир.

Тарих институту

Р. Б. Геюшев

Многослойный памятник в Нагорном Карабахе

РЕЗЮМЕ

Статья посвящена новоизвестному поселению—Чыраглытепе в Мартунинском районе. Это поселение представляет собой большой холм высотою около 200 м от уровня реки. Культурный слой холма имеет толщину приблизительно 20—25 м. При сельскохозяйственной работе были обнаружены погребальные и бытовые памятники, относящиеся к разным периодам истории.

Из самой нижней части холма было выявлено погребение типа каменных ящиков, а над ней бытовые памятники, такие как тендиры, разные сооружения и т. п.

В середине холма были выявлены кувшинные погребения, а немного выше опять встречаются бытовые памятники.

Наконец, на самой вершине холма остались следы оборонительных сооружений,

Таким образом, Чыраглытепе является одним из многослойных памятников Азербайджана, охватывающих более двух тысячелетий его истории.

Зоологија

А. Э. Абдинбайова. Азэрбајҹан фаунасы үчүн јени браконид (Braconidae, Hymenoptera) иевләри	50
--	----

Торпагшұнаслыг

В. А. Трјаписин, Л. М. Рзаева. Anagurusчинсинә айн јени нөв	54
---	----

Бајтарлыг

М. Г. Гөнијев, М. И. Һесенов. Зэиф вирулентли листериоз күлтурасы / илә пејвәнд едилмиш ирибујнузлу һејванларда бә'зи иммунобиологи көстәричи- ләрин өјрәнилмәси	57
--	----

Археолокија

Р. Б. Көјүшов. Дағлыг Гарабағда чохтәбәгәли айдә	62
--	----

МУНДЭРИЧАТ

Физика

С. Э. Начыјев. РР чутунун анниклијасының нағында	3
--	---

Енергетика

Ч. М. Чуварлы, Г. В. Вечхајзер, Ј. В. Горин. Диелектриккүн сәттүн- дән тачвары бошалма	8
--	---

Ұзғи кимја

Ж. В. Поконова, А. А. Петров. Полиаминофирләринин алымна үсулу	11
--	----

С. М. Најберг, Н. М. Сејидов, А. Ж. Партиански, М. А. Далин; Хлорлашмыш етилен-пропилен каучукунун структурасының өјрәнилмәси	17
---	----

Физики кимја

Ф. Ч. Мәммәдов, В. М. Татевски, М. А. Сәлимов. Спектрофотомет- рия методу илә молекулларасы һидрокен рабитәсинин тәдгиги	21
--	----

Кеолокија

Р. А. Начыјев. Бакы амфитеатрының грунт сularының режиминин дәји- шилмәси вә онун сәбәбләри нағында	25
---	----

Кеофизика

Ф. Т. Гулијев, В. Э. Элијев, К. Ш. Исламов. Нојабр 1964-чу ил Имишли зәләзләси	31
--	----

Ботаника

Б. Г. Зејналов. Минерал күбрәләрин мұхтәлиф норма вә иисбәтләринин пајызылыг бүгда биткисинде азот, фосфор вә калиумун топланмасына тә'сири	34
---	----

Торпагшұнаслыг

Ш. И. Мирзәјев. Ыækәрәҹай һевзәсинин јухары һиссәсендәки дағ-мешә торпагларының рүтубәт режими	38
--	----

Селексија

Н. Ж. Гроздова. Хијарының кермафродиткүллү һеву	43
---	----

Биокимја

Н. М. Талышинский, М. Н. Исаев. Яј вә пајыз фәсилләриндә селексија тут сортларының ярпагларында шәкәр, протени вә селлүлозун топланма динами- касы	46
--	----

СОДЕРЖАНИЕ

Физика

С. А. Гаджиев. О радиационной аннигиляции pp-пары 3

Энергетика

Ч. М. Джуварлы, Г. В. Вечхайзер, Ю. В. Горин. Коронный разряд с поверхности диэлектрика 8

Органическая химия

Ю. В. Поконова, А. А. Петров. Способ получения полиаминоэфиров 11

Ц. М. Найберг, Н. М. Сейдов, А. Е. Портянский, М. А. Далин. Изучение структуры хлорированного этилен-пропиленового эластомера 17

Физическая химия

Ф. Д. Мамедов, В. Т. Татевский, М. А. Салимов. Спектрофотометрическое исследование межмолекулярной водородной связи 21

Геология

Р. А. Гаджиев. Изменение режима уровней грунтовых вод Бакинского амфитеатра и его причины 25

Геофизика

Ф. Т. Кулиев, В. А. Алиев, К. Ш. Исламов. Имишлиnsкое землетрясение в ноябре 1964 г. 31

Ботаника

В. Г. Зейналов. Влияние различных доз и соотношений минеральных удобрений на накопление азота, фосфора и калия озимой пшеницы 34

Почвоведение

Ш. И. Мирзоев. О динамике влажности горно-лесных почв в верховых р. Акеры 38

Селекция

И. Я. Гроздова. Гермафродитноцветковый плод огурца 43

Биохимия

Г. М. Талышинский, М. Г. Исаев. Динамика накопления сахара, протеина и клетчатки в листьях сортовой шелковицы в летне-осенний сезоне 46

Зоология

А. А. Абдинбекова. Новые виды браконид (Braconidae Hymenoptera) фауны Азербайджана 50

Почвоведение

В. А. Трипицяни и Л. М. Рзаева. Новый вид рода Anagyrus Hesw (Hymenoptera, Encyrtidae) 54

Зоология

М. К. Ганиев, М. И. Гасанов. Некоторые иммунобиологические показатели у животных, вакцинированных слабовирулентной культурой листерий 57

Археология

Р. Б. Геюшев. Многослойный памятник в Нагорном Карабахе 62